

Servizio Pianificazione Urbanistica e Politiche per l'Ambiente



# Studio di microzonazione sismica di terzo livello del Comune di Forlì

#### STUDIO A CURA DI:



#### Direzione Tecnica:

Dr. Geol. Carlo Caleffi - Dr. Geol. Francesco Cerutti

#### Collaboratori:

Dr. Geol. Matteo Baisi

Dr. Geol. Matteo Bertolotti

Dr. Geol. Alessandro Ferrari

Dr.ssa Geol, Melinda Raimondo



Attuazione dell'articolo 11 della legge 24 giugno 2009, n. 77

### MICROZONAZIONE SISMICA Relazione illustrativa

Regione Emilia-Romagna Comune di Forlì



Soggetto realizzatore Regione Emilia-Romagna

Dott. Geol. Carlo Caleffi Dott. Geol. Francesco Cerutti Collaboratori Dott. Geol. Matteo Baisi Dott. Geol. Matteo Bertolotti

Dott. Geol. Alessandro Ferrari Dott.ssa Geol, Melinda Raimondo MS3

Dicembre 2024

- Suddivisione dettagliata del territorio in base al comportamento dei terreni durante un evento sismico e ai possibili effetti indotti dallo scuotimento
- Strumento di prevenzione e riduzione del rischio sismico particolarmente efficace se realizzato e applicato già in fase di pianificazione urbanistica
- N.B.: Si tratta di studi ancora in parte sperimentali

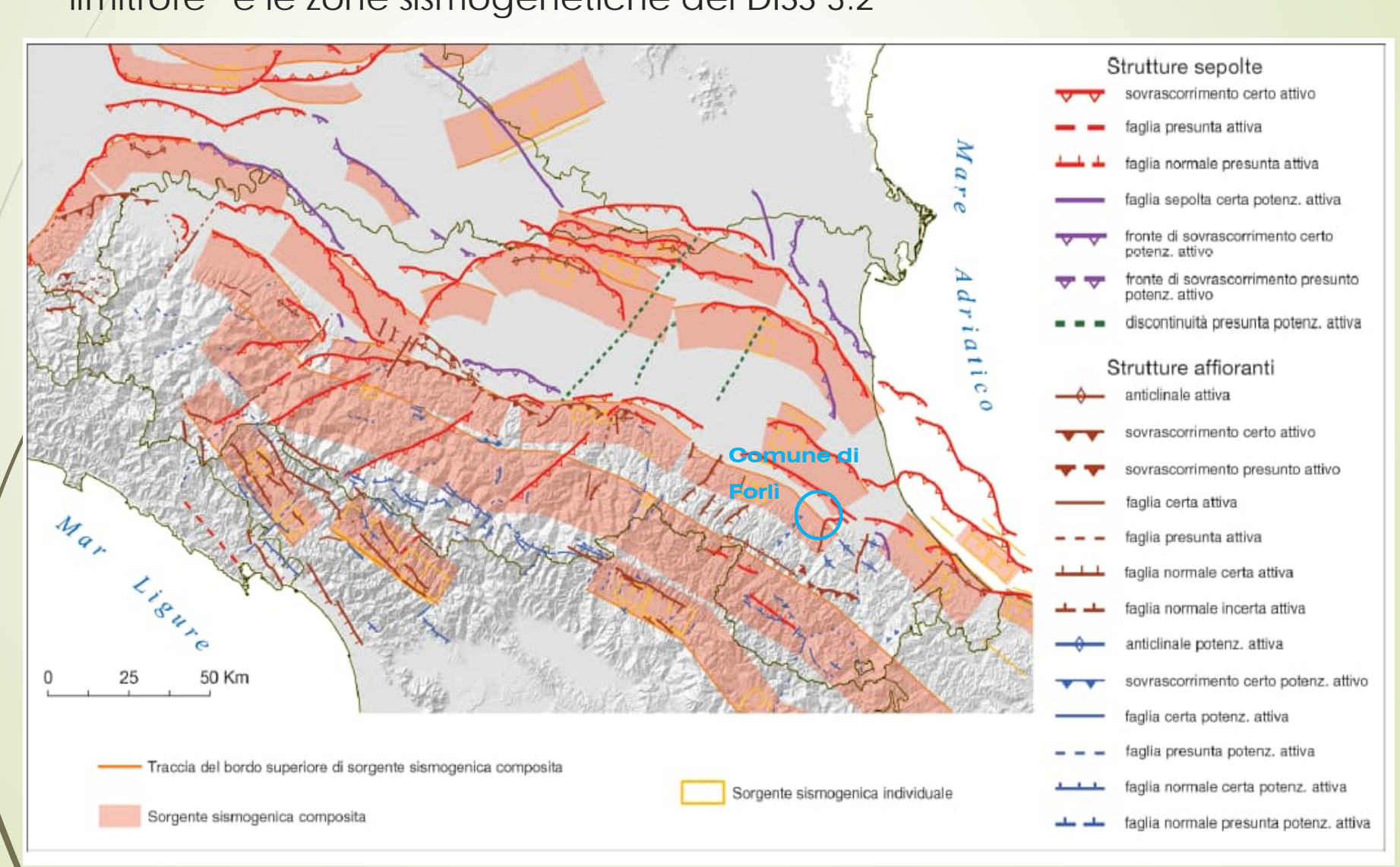
### Riferimenti tecnici

- Allegato 2 "Criteri per la realizzazione degli studi di Microzonazione Sismica e Analisi della Condizione Limite per l'Emergenza, di cui all'ordinanza del capo dipartimento della protezione civile n. 978/2023" della deliberazione di Giunta regionale n. 1884 del 06/11/2023 "OCDPC 24 marzo 2023, n. 978 - Attuazione dell'art. 2 comma 1 lett. b). Approvazione elenco degli enti locali destinatari dei contributi per studi di microzonazione sismica e analisi della condizione limite di emergenza";
- "Microzonazione sismica Standard di rappresentazione e archiviazione informatica" - Versione 4.2, Roma, dicembre 2020 - e approvato nell'ambito dei lavori della Commissione tecnica per la microzonazione sismica, nominata con DPCM 21 aprile 2011;
- "Indirizzi e criteri per la microzonazione sismica" approvati dal Dipartimento della Protezione Civile e dalla Conferenza delle Regioni e delle Province Autonome e successive modifiche e integrazioni;
- Atto di coordinamento tecnico per gli studi di microzonazione sismica ai sensi della LR 24/2017 approvato con DGR 476/2021 e integrato con DGR 564/2021.

### Sismicità di base

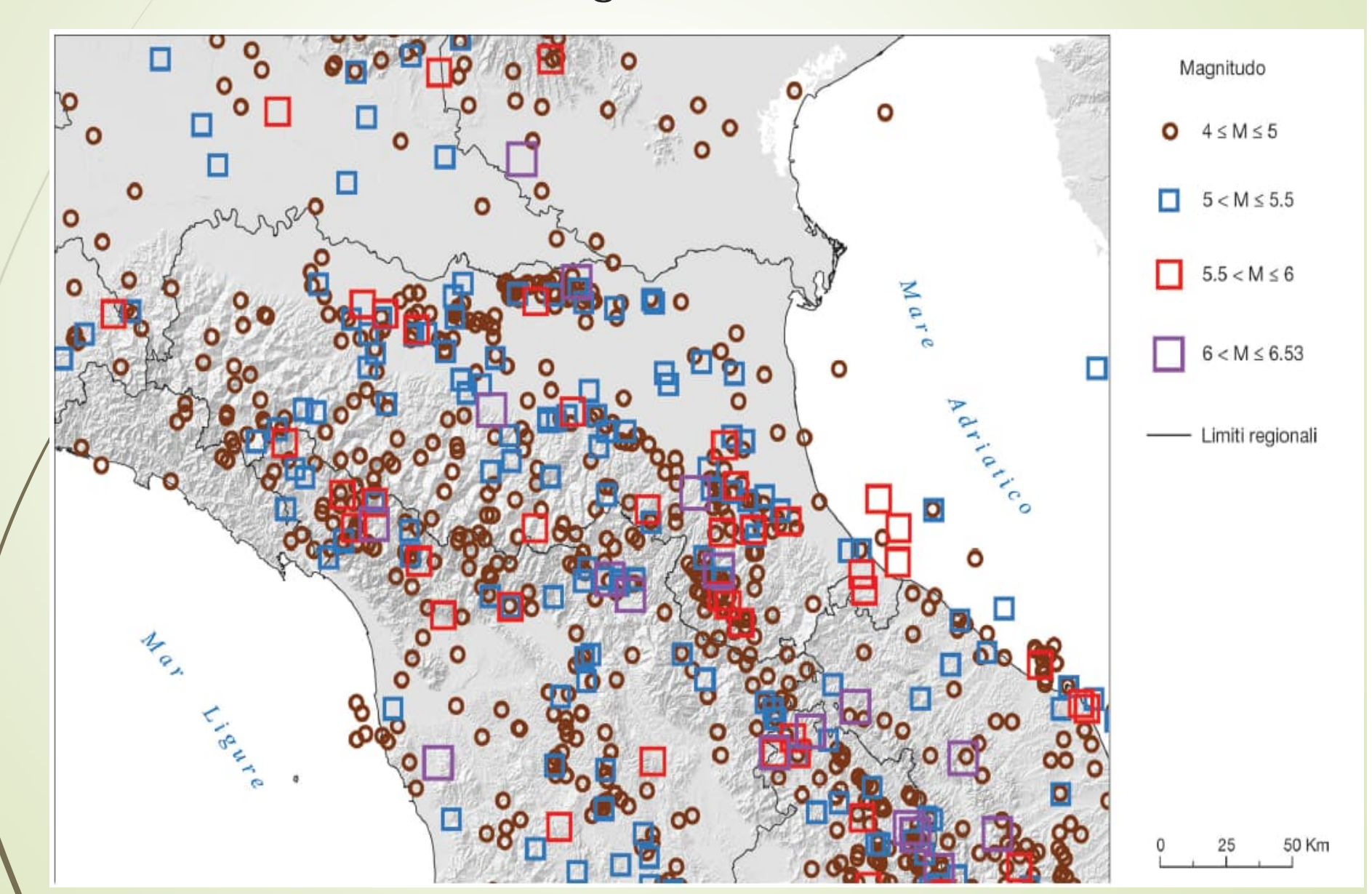
Mappa di confronto tra le strutture tettoniche attive e potenzialmente attive riportate nella "Carta Sismotettonica della Regione Emilia Romagna ed aree

limitrofe" e le zone sismogenetiche del DISS 3.2

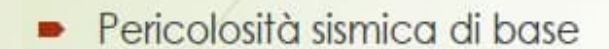


### Sismicità di base

Epicentri dei principali terremoti (Mw≥4) che hanno interessato l'Emilia-Romagna dall'anno 1000 al 2014



Dalla pericolosità sismica di base alla pericolosità locale



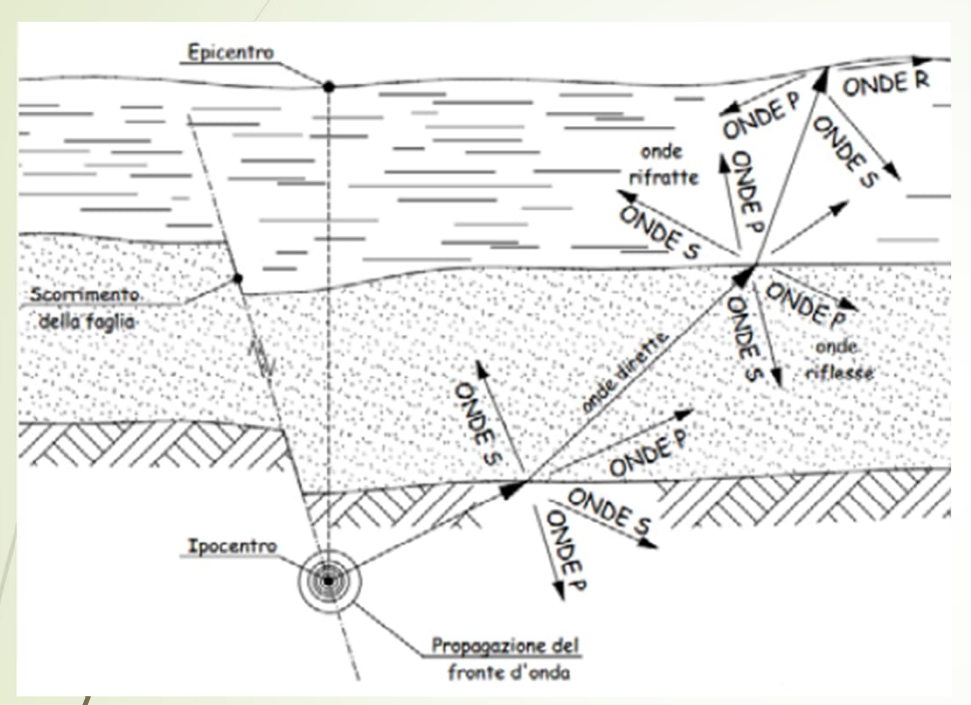
Eventi di riferimento

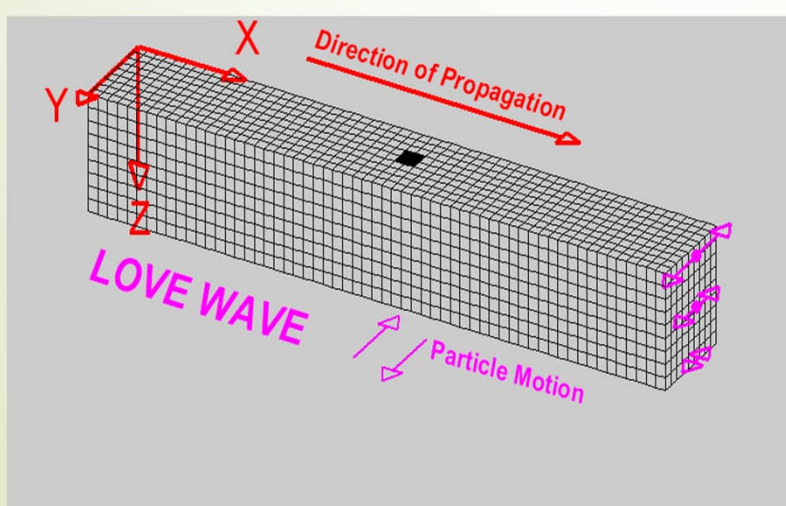


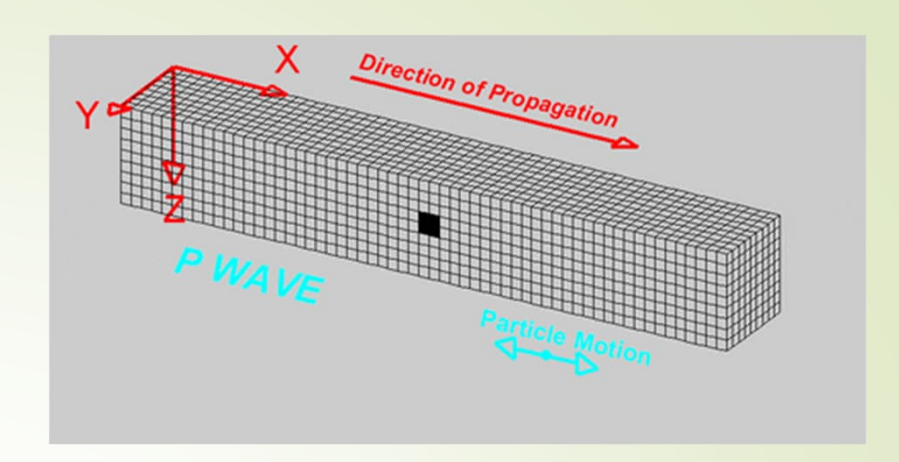
 Risposta sismica locale

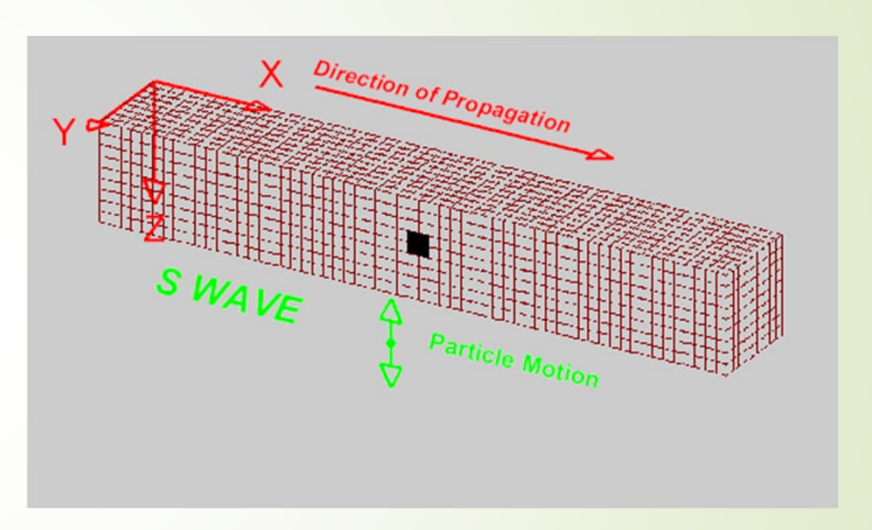
- Condizioni locali
  - Assetto geologico
  - Assett morfogico

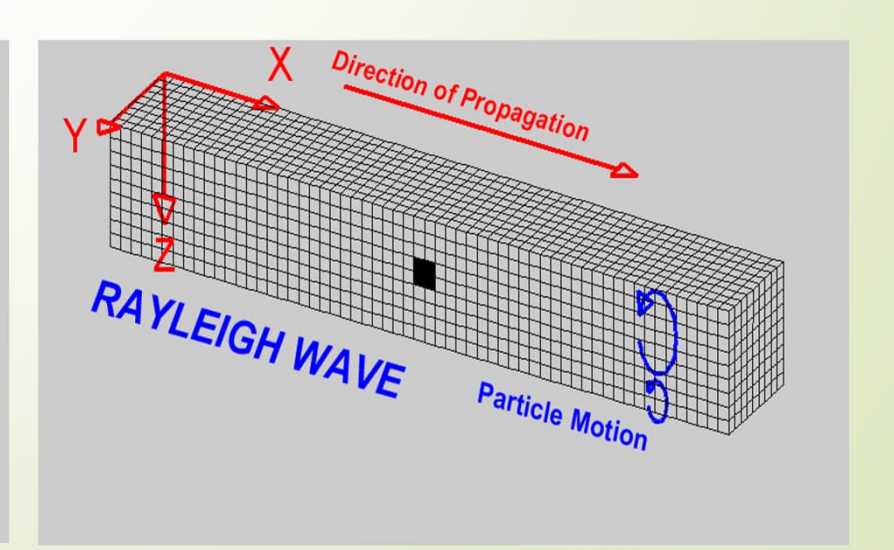
Propagazione delle onde sismiche e amplificazione stratigrafica



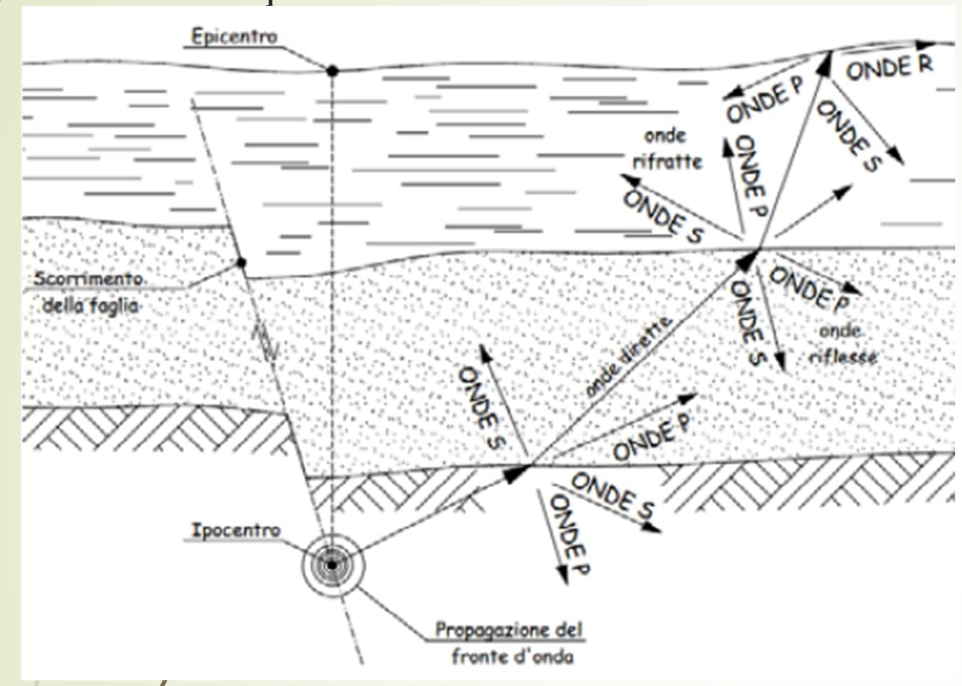








Liquefazione









## Oggetto di studio

E' stato preso in esame il territorio urbanizzato e urbanizzabile, partendo dai risultati dello studio di 2° livello:



### Zone stabili suscettibili di amplificazioni locali

Successione stratigrafica costituita da substrato non rigido (Vs<800 m/s) di tipo ALS, ricoperto da una coltre di depositi eluvio-colluviali di spessore medio inferiore a 3 m

Successione stratigrafica costituita da substrato non rigido (Vs<800 m/s) di tipo ISS, ricoperto da una coltre di depositi eluvio-colluviali di spessore medio inferiore a 3 m

Successione stratigrafica costituita da una copertura di depositi di origine alluvionale, costituiti da limi con ntercalazioni di argille e sabbie limose, di spessore medio compreso tra 5 e 15 m, sovrastanti terreni granulari più rigidi, sotto la quale si rinviene un substrato geologico di tipo ALS o ISS

Successione stratigrafica costituita da una copertura di depositi di origine alluvionale, costituiti da ghiaie sabbiose e ghiaie-limose, di spessore medio variabile generalmente inferiore a 50 m, sotto la quale si rinviene un substrato geologico di tipo ALS o ISS

Successione stratigrafica costituita da una copertura di depositi di origine alluvionale, costituiti da limi argillosi e sabbie limose che si trovano a ridosso del raccordo pianura collina, di spessore medio variabile da pochi metri a maggiori di 30 m, sotto la quale si rinvengono i terreni granulari più rigidi della zona 2007 o un substrato geologico di tipo ALS o ISS

Successione stratigrafica costituita da una copertura di terreni contenenti resti di attività antropica derivante da riempimento di ex-cave, sotto la quale si rinvengono i diversi litotipi presenti nel territorio

### Zone di Attenzione per instabilità

2001

2006

2009

2010

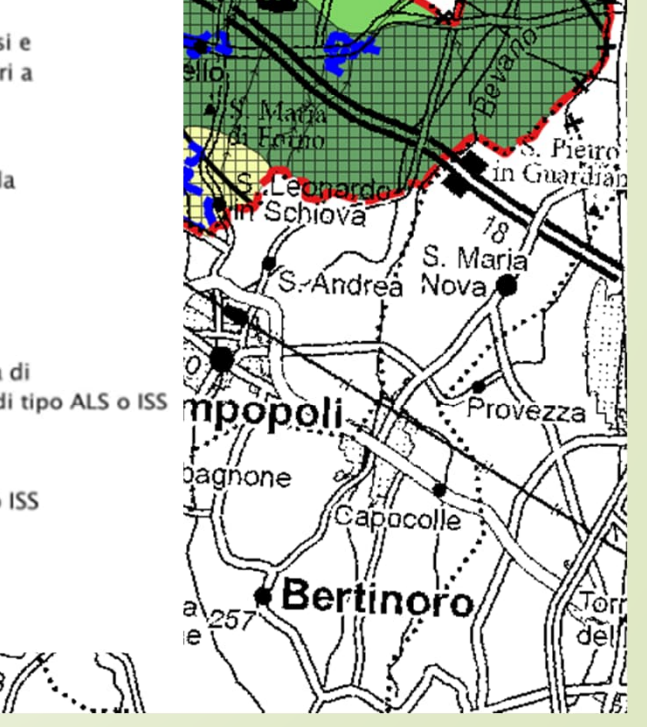
ZA-LQ – Zona di Attenzione per Liquefazioni – Zona 4
Successione stratigrafica costituita da una copertura di

Successione stratigrafica costituita da una copertura di depositi di origine alluvionale, costituiti dall'alternanza di numerosi livelli sabbiosi e livelli limosi, di spessore medio compreso tra 45 e 60 m. Il substrato geologico è di tipo ALS o ISS

ZA-LQ - Zona di Attenzione per Liquefazioni - Zona 5
Successione stratigrafica costituita da una copertura di depositi di origine alluvionale, costituiti da sabbie e limi di spessore medio > 30 m, sovrastanti terreni granulari più rigidi. Il substrato geologico è di tipo ALS o ISS

ZA-FR - Zona di Attenzione per Instabilità di versante - Zona 10 Successione stratigrafica costituita da una copertura di depositi di frana, di spessore non definibile, sotto la quale si rinviene un substrato non rigido (Vs<800 m/s) di tipo ALS o ISS





S/Pietro.

Coccolia

in Vincoli # Campiano

⟨S./Rietró | ⟨iń/Campia

Borghetto

### Oggetto di studio

- individuazione di aree rappresentative delle situazioni più critiche classificate nella fase precedente;
- realizzazione di nuove indagini :
  - N° 1 Sondaggio con prova Down-hole;
  - N° 1 Prova di laboratorio per la determinazione delle curve di variazione dello smorzamento (D) e della rigidezza (G/G<sub>0</sub>) in funzione della deformazione;
  - N° 4 Prove SCPT con misura della Vs;
  - N° 20 Prove CPTU (per le verifiche a liquefazione)
  - N° 5 Tomografie elettriche ERT
  - N° 26 Prove sismiche HVSR
  - N° 25 Prove sismiche MASW-REMI

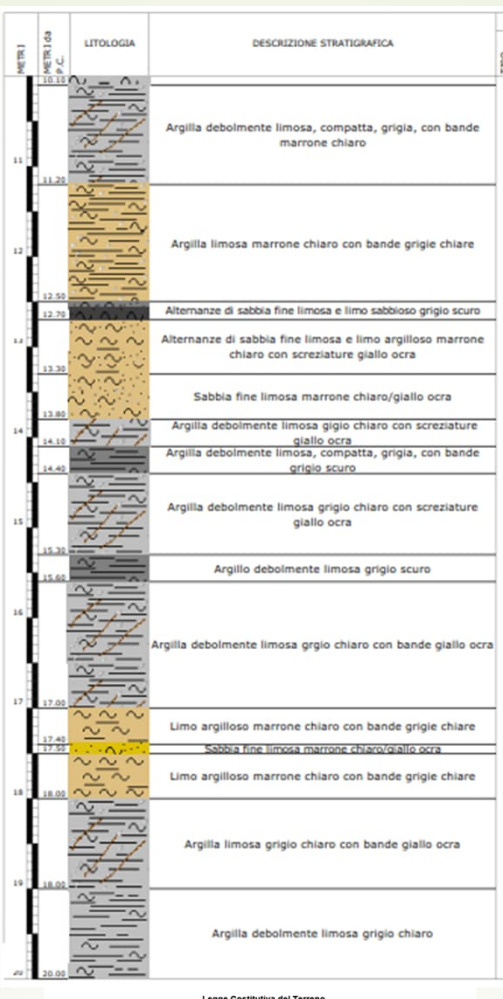
## Oggetto di studio

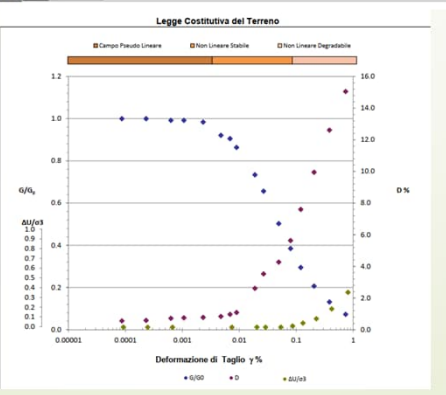
- Aggiornamento delle cartografie di primo livello con dati delle nuove indagini:
  - Carta delle indagini
  - Carta delle frequenze naturali dei terreni;
  - Carta delle microzone omogenee in prospettiva sismica (MOPS);
  - Carta delle velocità delle onde di taglio S (Vs)
- valutazione della riposta sismica locale in 9 siti in cui si riteneva di poter disporre di sufficienti dati per la definizione del modello geofisico del sottosuolo.
- verifiche a liquefazione su 44 verticali;
- redazione delle cartografie di microzonazione sismica Livello 3 per i diversi FA, FH e H<sub>SM</sub>:
  - FA<sub>PGA</sub> FA<sub>SA 0.1-0.5 s</sub> FA<sub>SA 0.4-0.8 s</sub> FA<sub>SA 0.7-1.1 s</sub> FA<sub>SA 0.5-1.5 s</sub>
  - FH<sub>SI 0.1-0.5 s</sub> FH<sub>SI 0.5-1.0 s</sub> FH<sub>SI 0.5-1.5 s</sub>
  - H<sub>SM</sub> H<sub>SM 0.4-0.8 s</sub> H<sub>SM 0.7-1.1 s</sub> FA<sub>SA 0.5-1.5 s</sub>

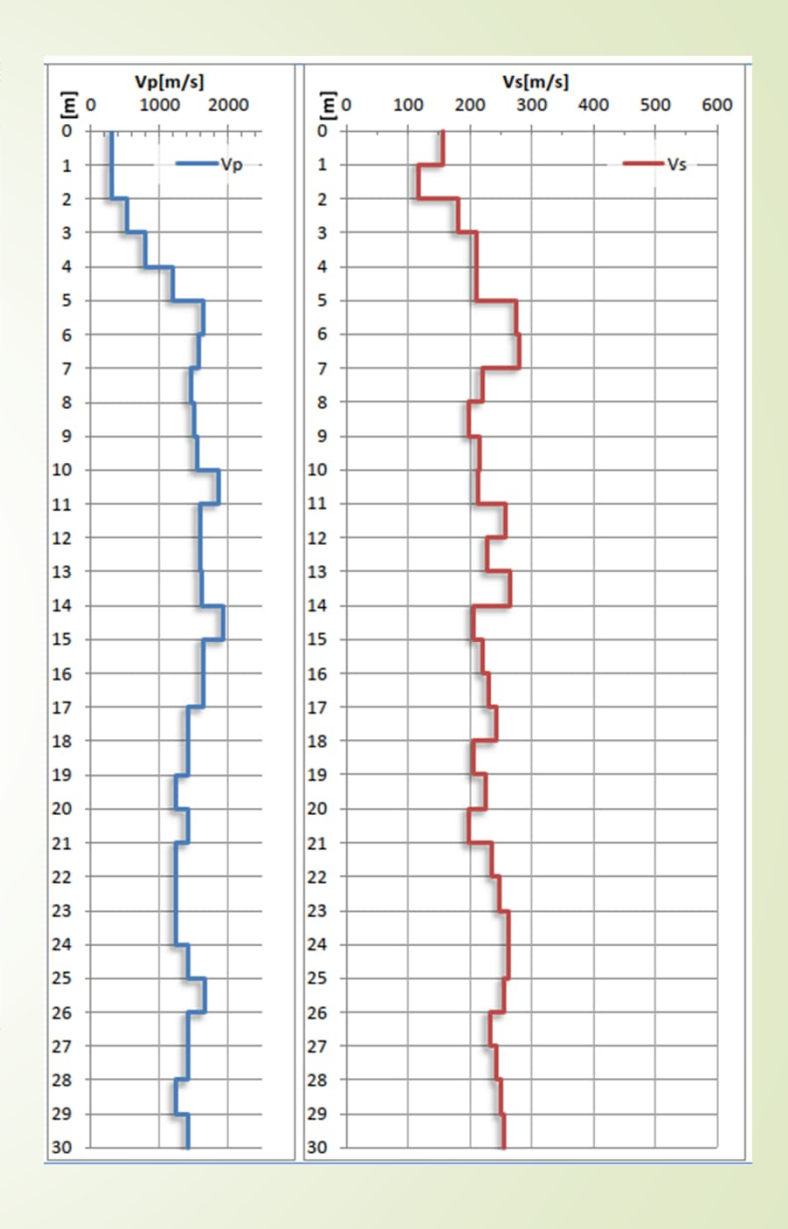
1 sondaggio a carotaggio continuo con D-H e curve D e G/G<sub>0</sub>

che hanno consentito di determinare

- 1. La stratigrafia
- 2. Il profilo di velocità delle onde di taglio Vs con la profondità (misura diretta)
- La degradazione dei terreni in caso di sisma





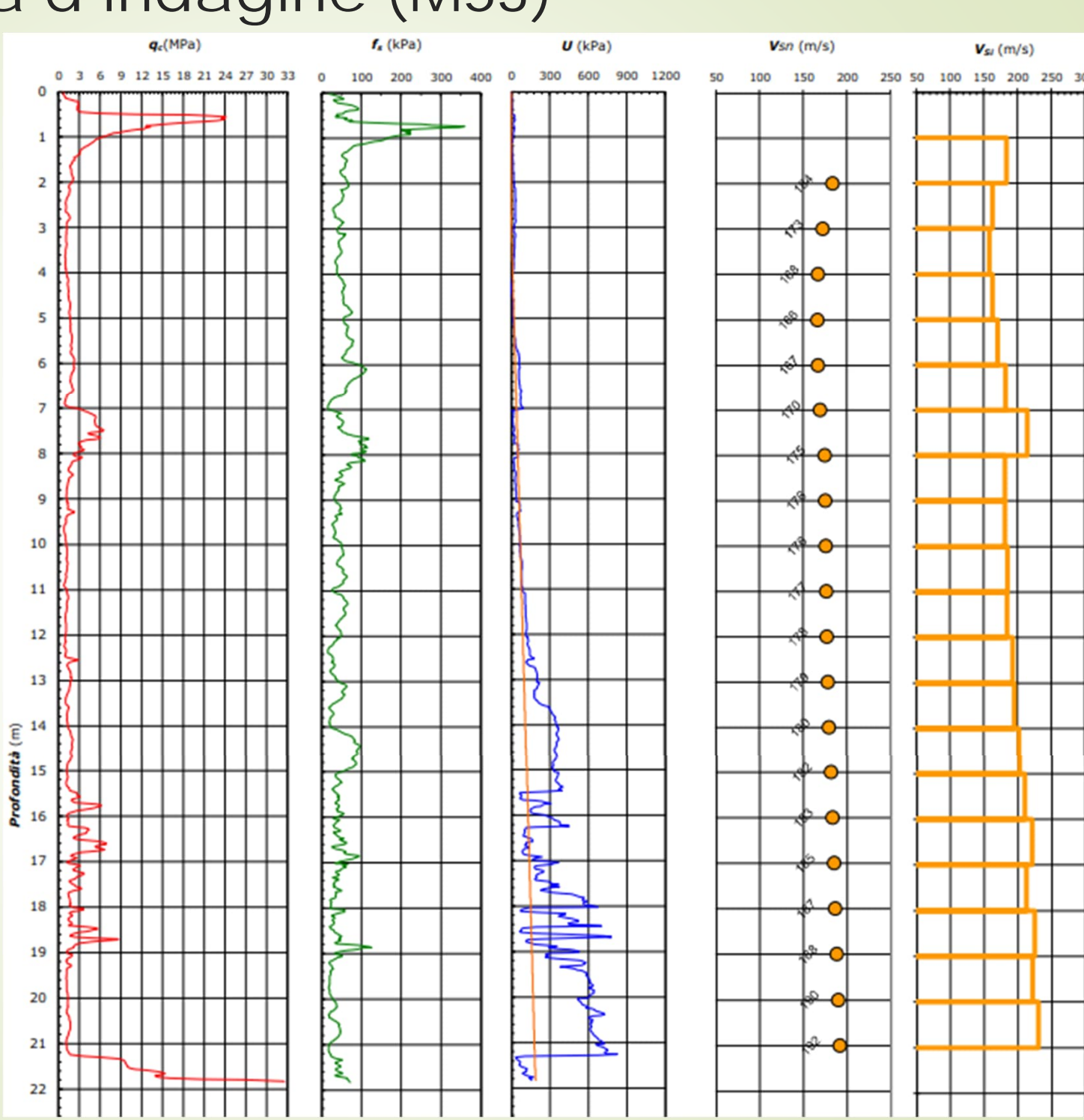


### N° 20 Prove CPTU

Prove penetrometriche statiche con punta elettrica e piezocono

### N° 4 Prove SCPT

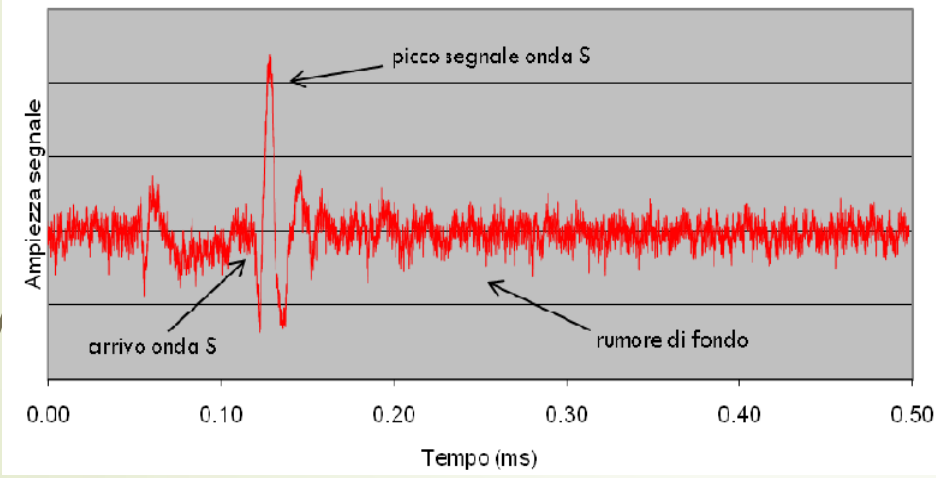
Prove penetrometriche statiche con punta elettrica, piezocono e sismocono



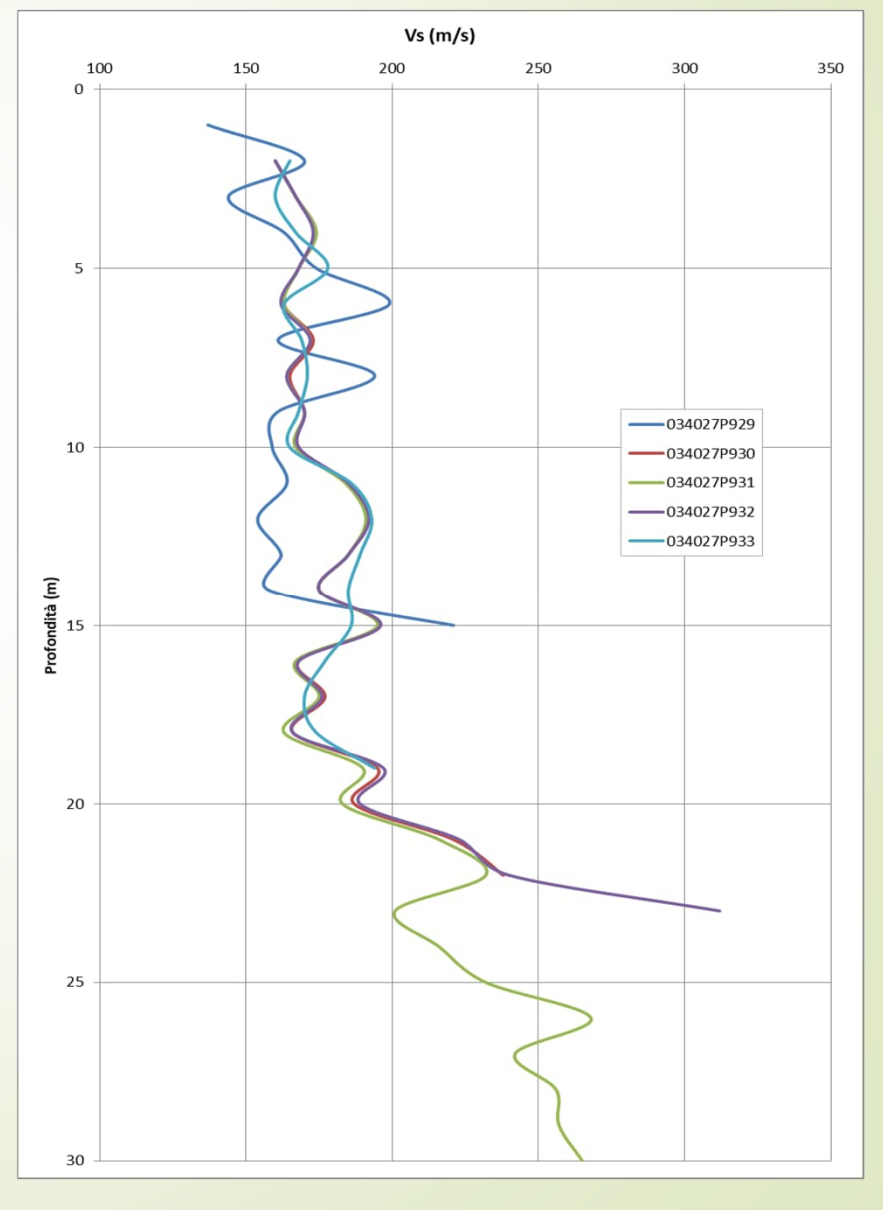
### N° 4 Prove SCPT

Prove penetrometriche statiche con punta elettrica, piezocono e cono sismico



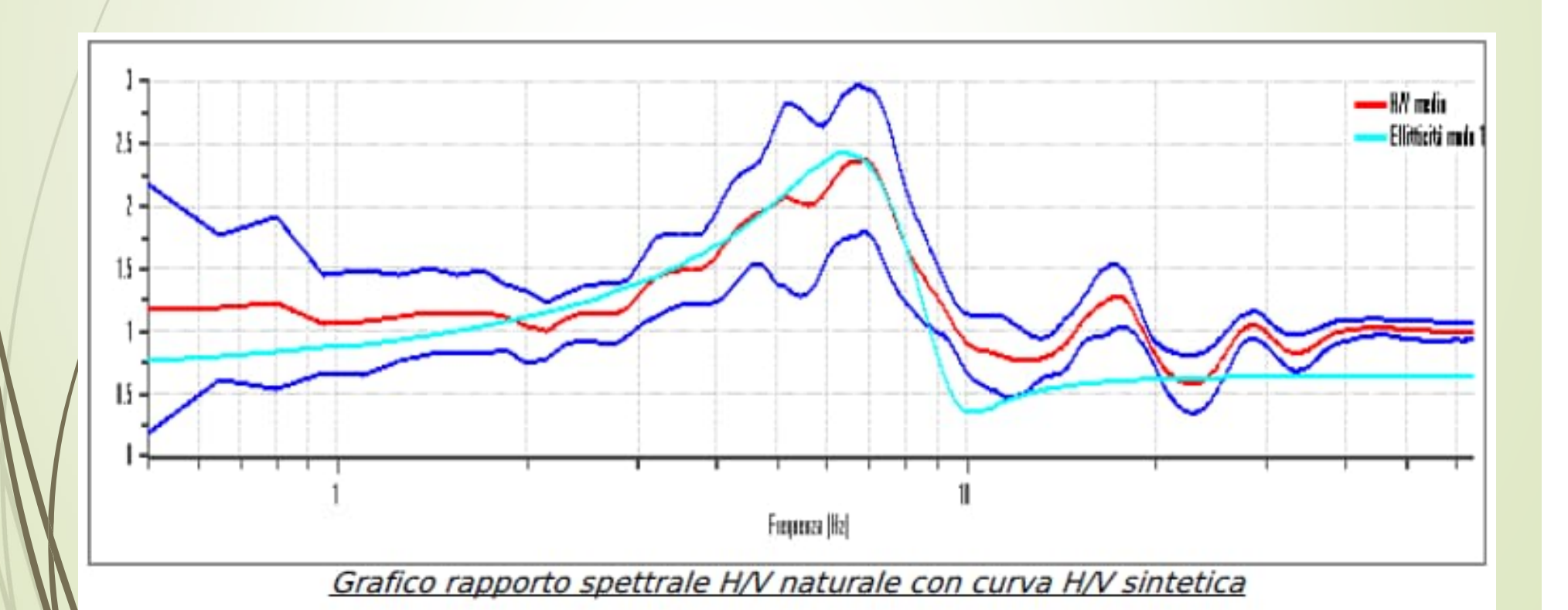


In sostanza è una prova che unisce i risultati di una normale CPTU ad una prova DH



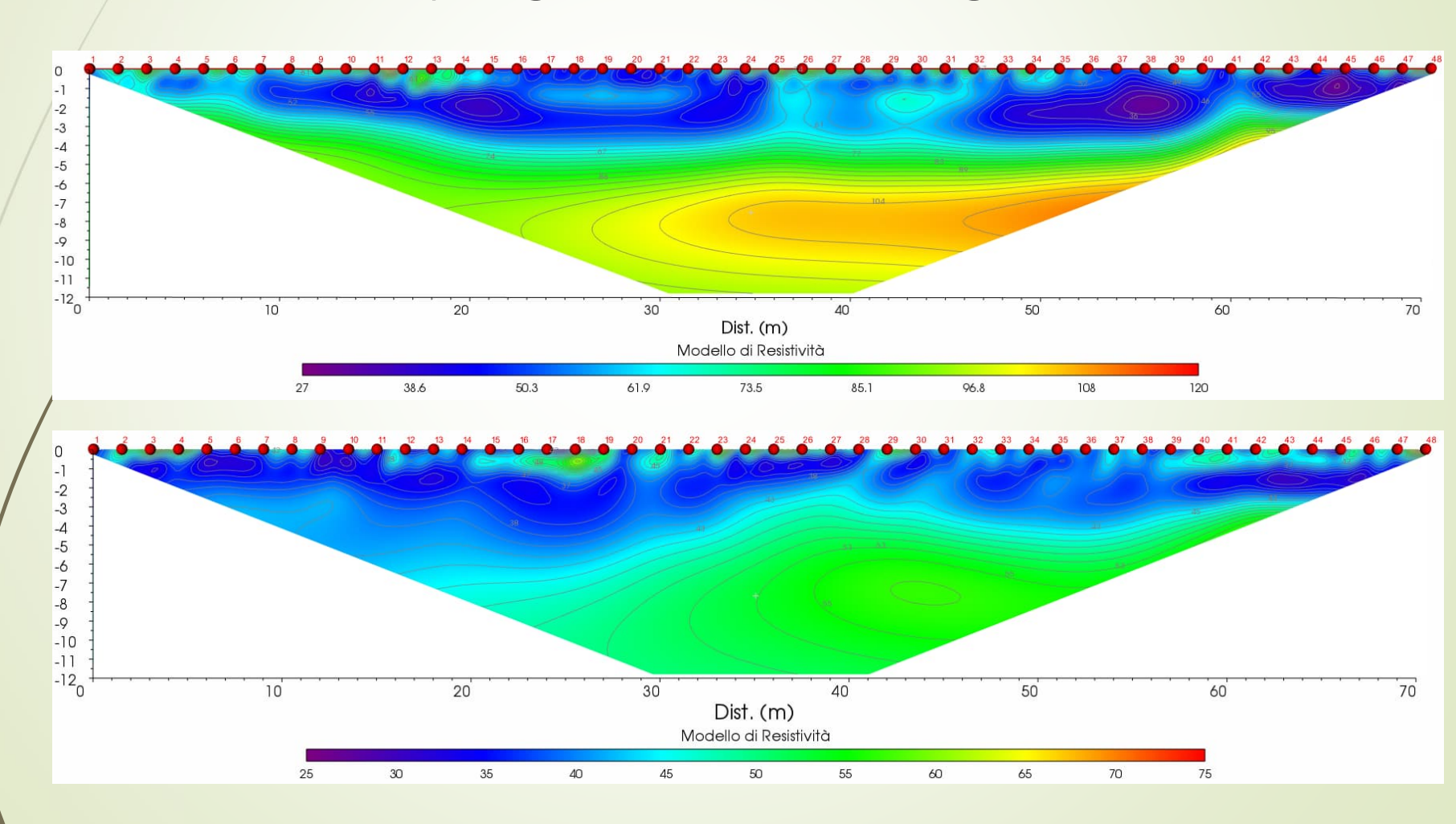
N° 26 Prove HVSR (Horizzontal to Vertical Spectral Ratio)

Per determinare la frequenza caratteristica del terreno da confrontare con la funzione di trasferimento della risposta sismica locale



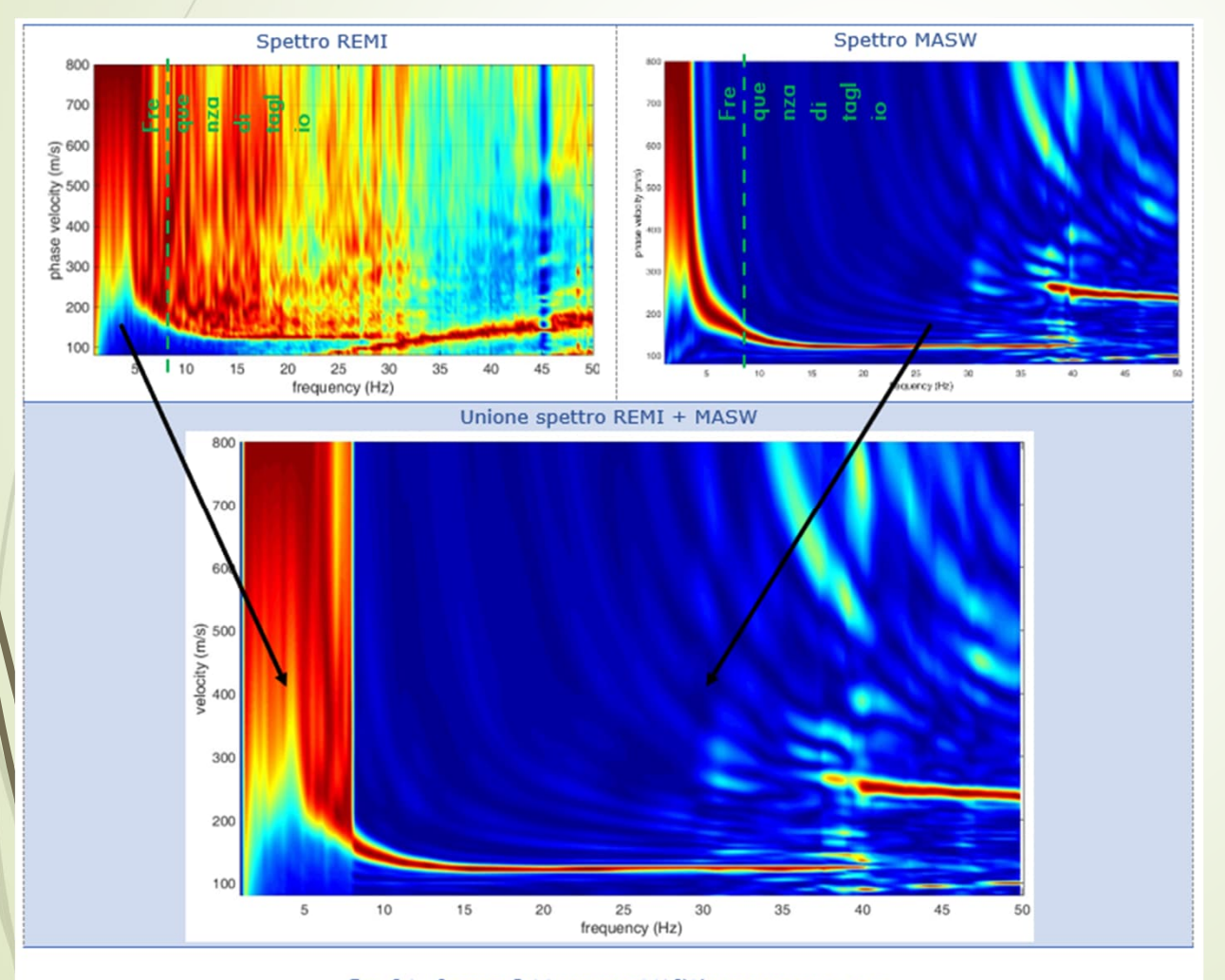
N° 5 Tomografie elettriche ERT

Per determinare la tipologia dei materiali indagati



N° 25 MASW e REMI

Per determinare la velocità delle onde sismiche nei terreni



Nome	Codice MS	V <sub>s30</sub> (m/s)
MASW+REMI1	040012L94	195
MASW+REMI2	040012L93	223
MASW+REMI3	040012L95	192
MASW+REMI4	040012L97	211
MASW+REMI5	040012L99	216
MASW+REMI6	040012L98	207
MASW+REMI7	040012L102	193
MASW+REMI8	040012L114	251
MASW+REMI9	040012L115	258
MASW+REMI10	040012L109	292
MASW+REMI11	040012L107	221
MASW+REMI12	040012L117	294
MASW+REMI13	040012L116	300

Nome	Codice MS	V <sub>s30</sub> (m/s)
MASW+REMI14	040012L111	239
MASW+REMI15	040012L118	333
MASW+REMI16	040012L108	285
MASW+REMI17	040012L119	282
MASW+REMI18	040012L101	243
MASW+REMI19	040012L103	235
MASW+REMI20	040012L110	316
MASW+REMI21	040012L104	197
MASW+REMI22	040012L105	213
MASW+REMI23	040012L113	244
MASW+REMI24	040012L106	211
MASW+REMI25	040012L112	237

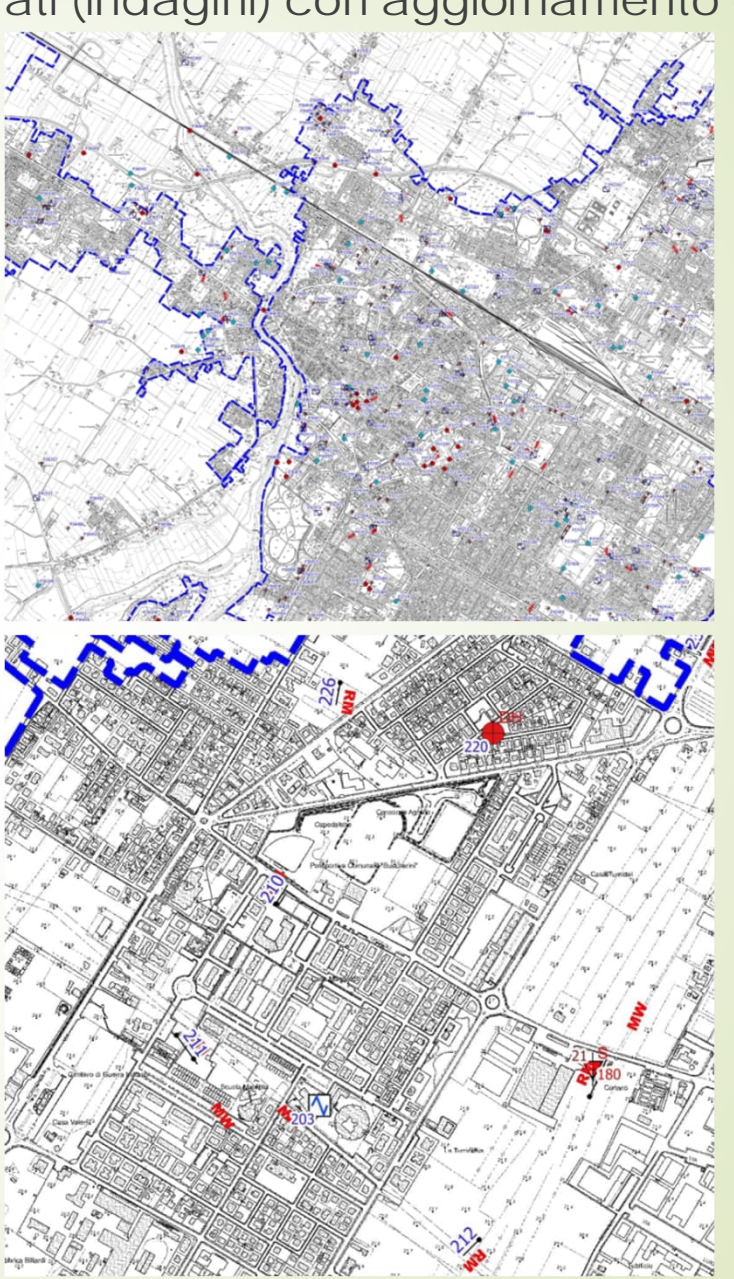
FIG. 34 - SPETTRO REMI, SPETTRO MASW E SPETTRO DI UNIONE

# MS3 - Aggiornamento cartografia

Sono stati riportati tutti i punti di nuovi dati (indagini) con aggiornamento di:

- Carta delle indagini
- Carta delle frequenze
- Carta delle Vs





■ La carta delle Microzone omogenee in prospettiva sismica (MOPS) è stata modificata alla luce sia dei dati stratigrafici che della RSL

# Carta delle Microzone omogenee in prospettiva sismica (MOPS)



Aree stabili suscettibili di amplificazioni locali

RIZZ

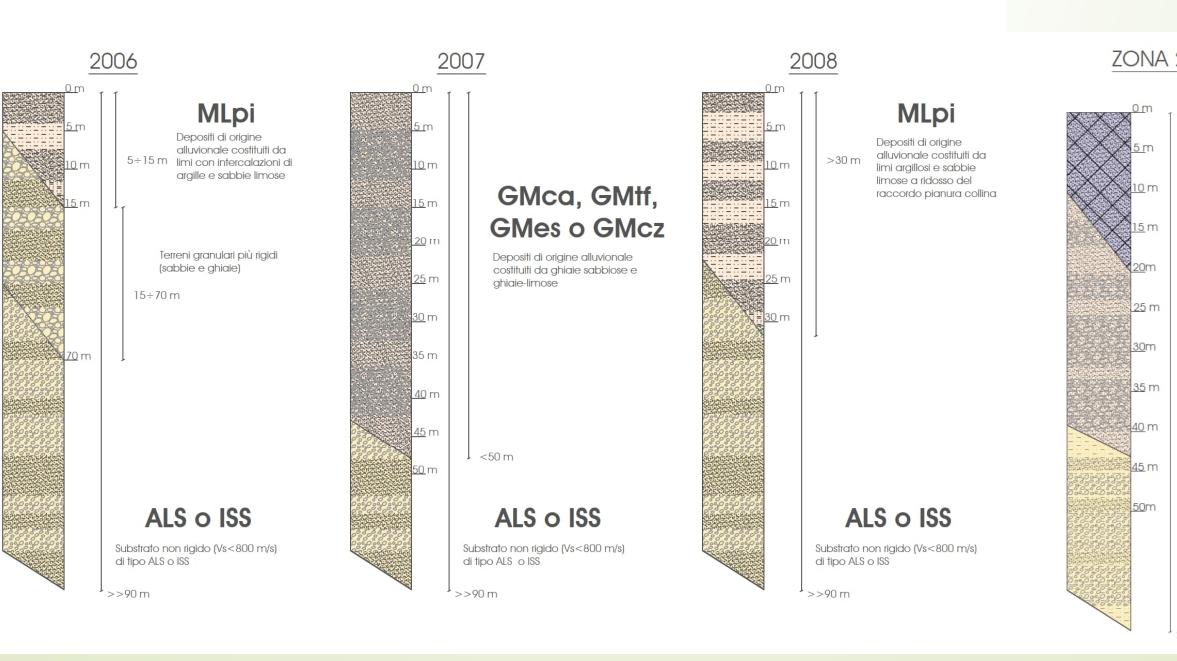
aranulometria mista derivanti

Depositi di origine alluvionale

ALS o ISS

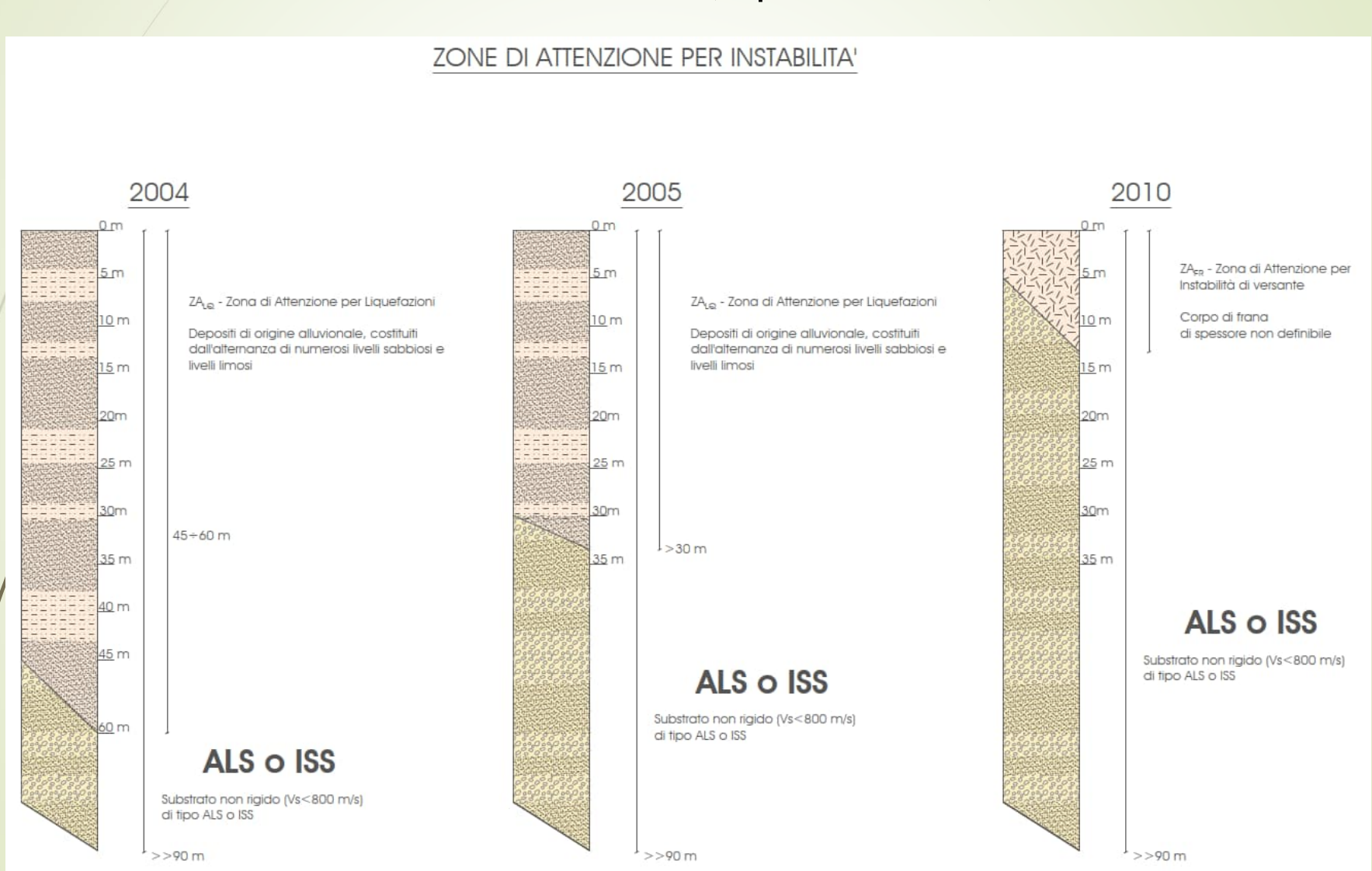
Substrato non rigido (Vs<800 m/s)

di tipo ALS o ISS



# Carta delle Microzone omogenee in prospettiva sismica (MOPS)

Aree instabili (liquefazione)

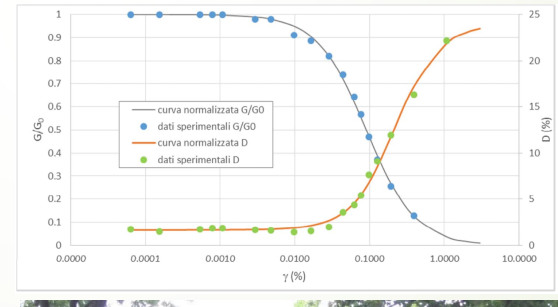


La stima dell'amplificazione stratigrafica, nel secondo livello, viene effettuata sulla base di abachi che mettono in correlazione una «stratigrafia tipo», con la Vs misurata in sito.

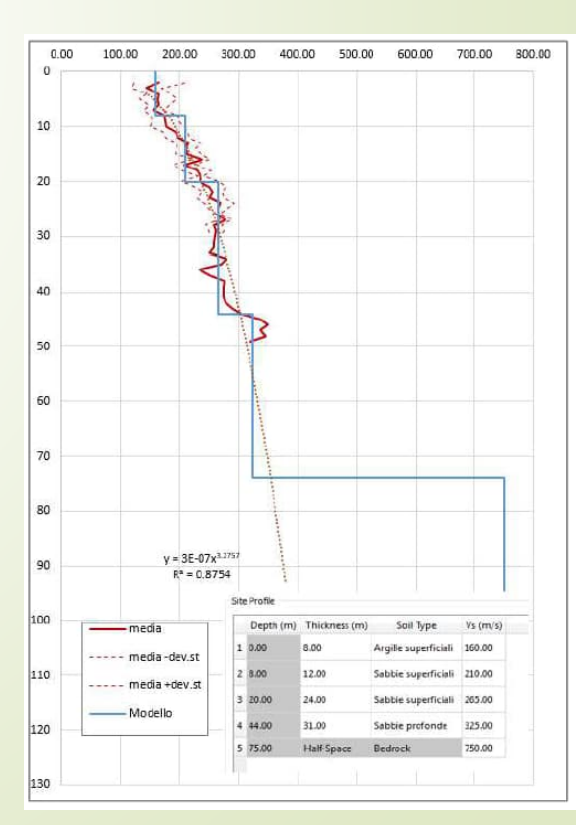
F.A. INT	F.A. INTENSITA' SPETTRALE - 0.1s < To < 0.5s									
$Vs_H$	200	250	300	350	400	450	500	600	700	800
H										
5	1.7	1.5	1.4	1.4	1.4	1.3	1.3	1.2	1.1	1.0
10	2.2	1.9	1.7	1.6	1.5	1.4	1.3	1.2	1.1	1.0
15	2.6	2.2	1.9	1.7	1.6	1.5	1.4	1.2	1.1	1.0
20	2.6	2.5	2.2	1.9	1.7	1.5	1.4	1.2	1.1	1.0
25	2.4	2.6	2.3	2.0	1.8	1.6	1.5	1.3	1.1	1.0
30	2.2	2.4	2.3	2.1	1.9	1.7	1.6	1.3	1.1	1.0
35	2.0	2.2	2.3	2.2	1.9	1.8	1.6	1.4	1.2	1.0
40	1.8	2.0	2.3	2.3	2.1	1.8	1.6	1.4	1.2	1.0

Nel terzo livello si passa ad una procedura molto più complessa.

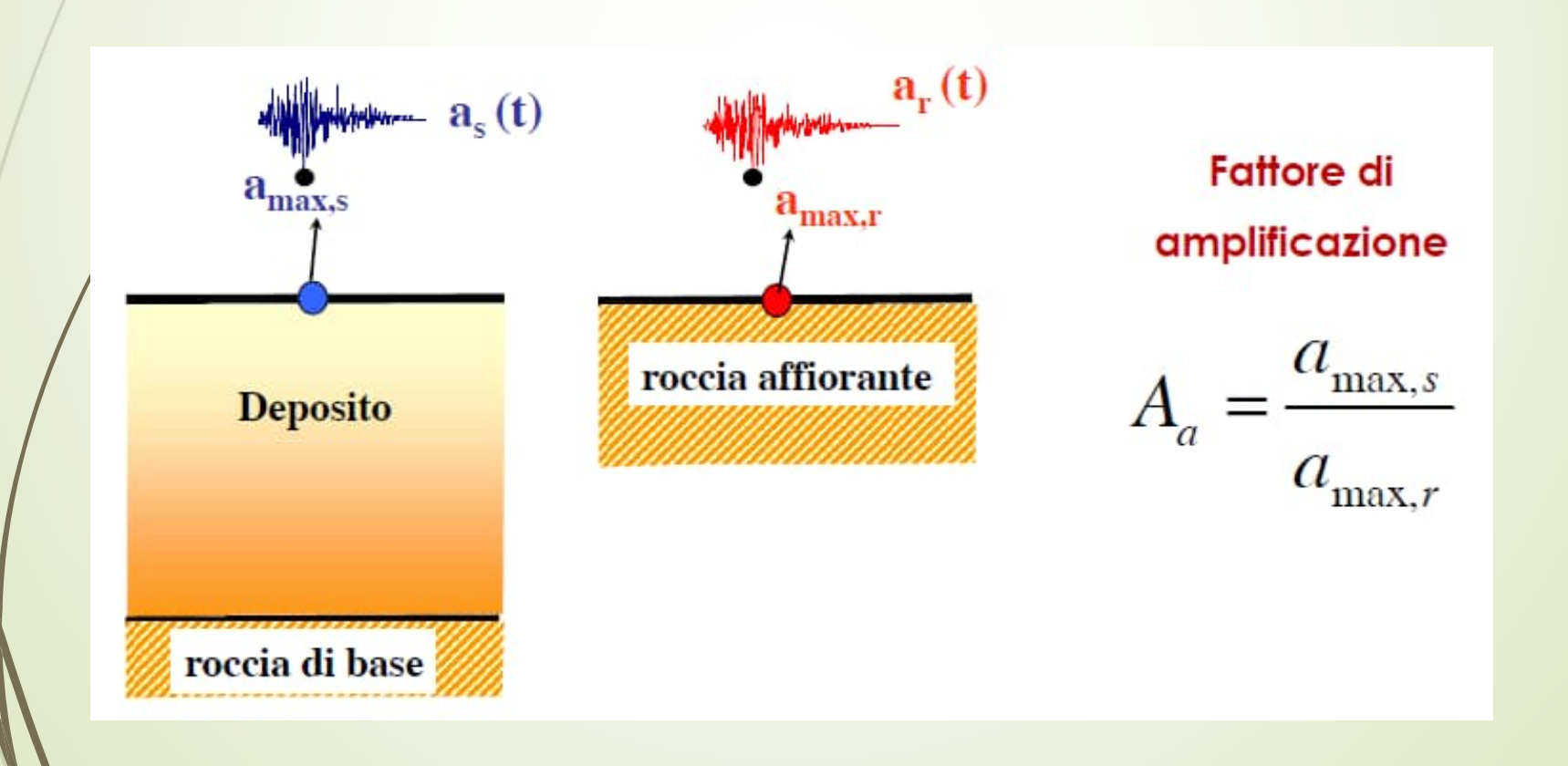
In estrema sintesi, sulla base di specifiche indagini ed analisi, si simula un terremoto al bedrock (TR 475Y), mediante appositi programmi, e si valuta la sua risposta in superficie







In pratica si esegue uno studio di Risposta Sismica Locale (RSL) che consente di confrontare gli spettri di risposta (in accelerazione e in velocità) ottenuti dalle elaborazione dei dati in sito con quelli «di normativa», ottenendo in questo modo i fattori di amplificazione.



La RSL per essere eseguita correttamente richiede un numero considerevole di parametri, che vanno attentamente valutati:

- Definizione della profondità del bedrock sismico;
- Segnali di input (cioè i terremoti di riferimento da utilizzare per «accelerare il sistema»);
- Mødello geofisico del sottosuolo fino al bedrock:
  - Litologia;
  - Velocità delle onde di taglio (per ciascuno strato)
  - Curve di variazione dello smorzamento D in funzione della deformazione (per ciascuno strato)
  - Curve di variazione della rigidezza G/G<sub>0</sub> in funzione della deformazione (per ciascuno strato)

> Problema del Bedrock sismico:

Definizione classica: Vs>800 m/s

Dr. L. Martelli – Seminario Terreno e Terremoto: dalla conoscenza del fenomeno alla riduzione del rischio – Bologna 5/11/2018

Nella fascia pedemontana (alta pianura), dove sono frequenti i depositi grossolani di conoide, il bedrock sismico è talora difficilmente individuabile.

Spesso il tetto degli orizzonti ghiaiosi pleistocenici costituisce una superficie di contrasto di velocità importante

Oggi tende ad individuare il bedrock sismico, soprattutto in pianura, in corrispondenza di un elevato contrasto di impedenza sismica, cioè laddove il rapporto tra le velocità dello strato superficiale e quello più profondo supera il valore di 2÷2.5.

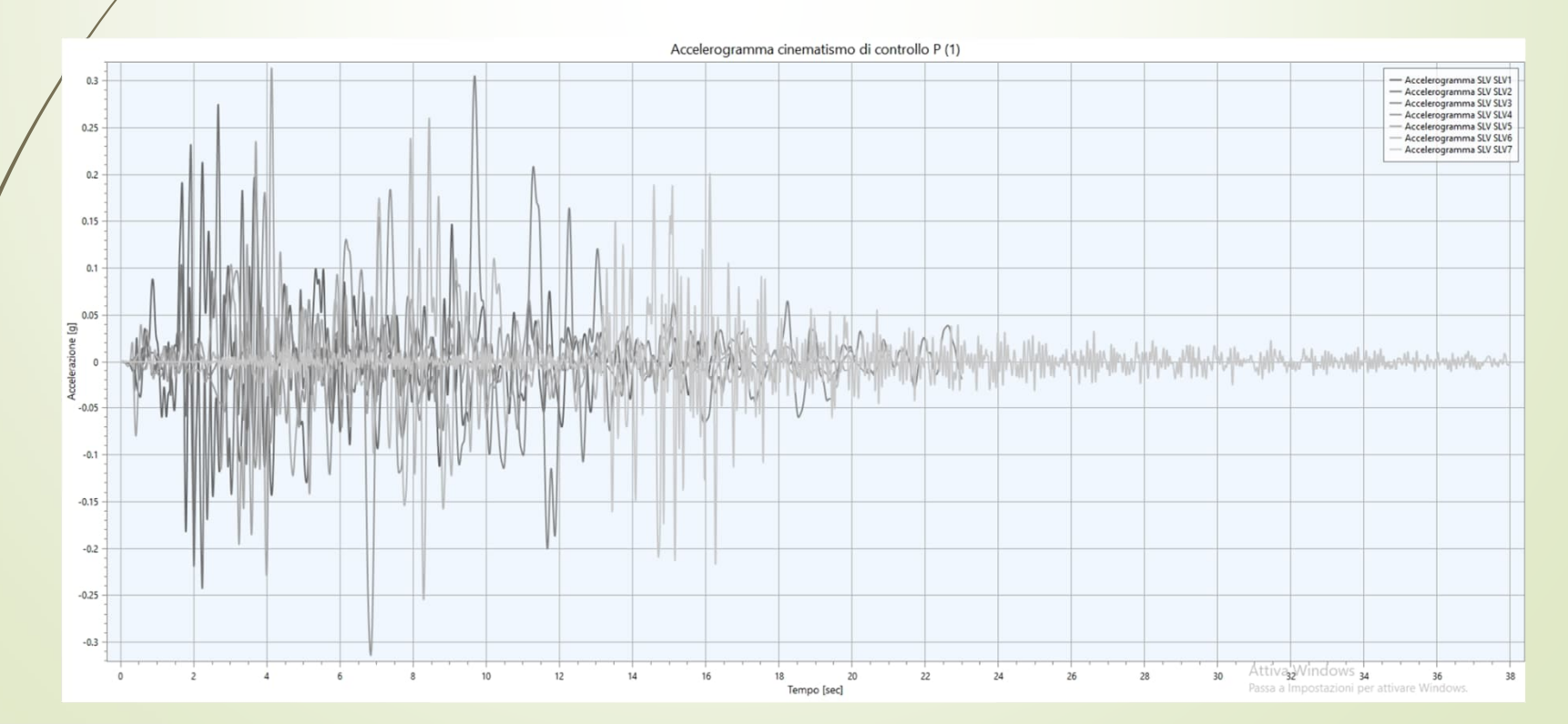
### Segnali di input;

I segnali devono essere «spettrocompatibili», cioè deve essere valutata la similarità tra le forme spettrali di riferimento e la forma degli spettri di risposta dei segnali contenuti nella banche dati:

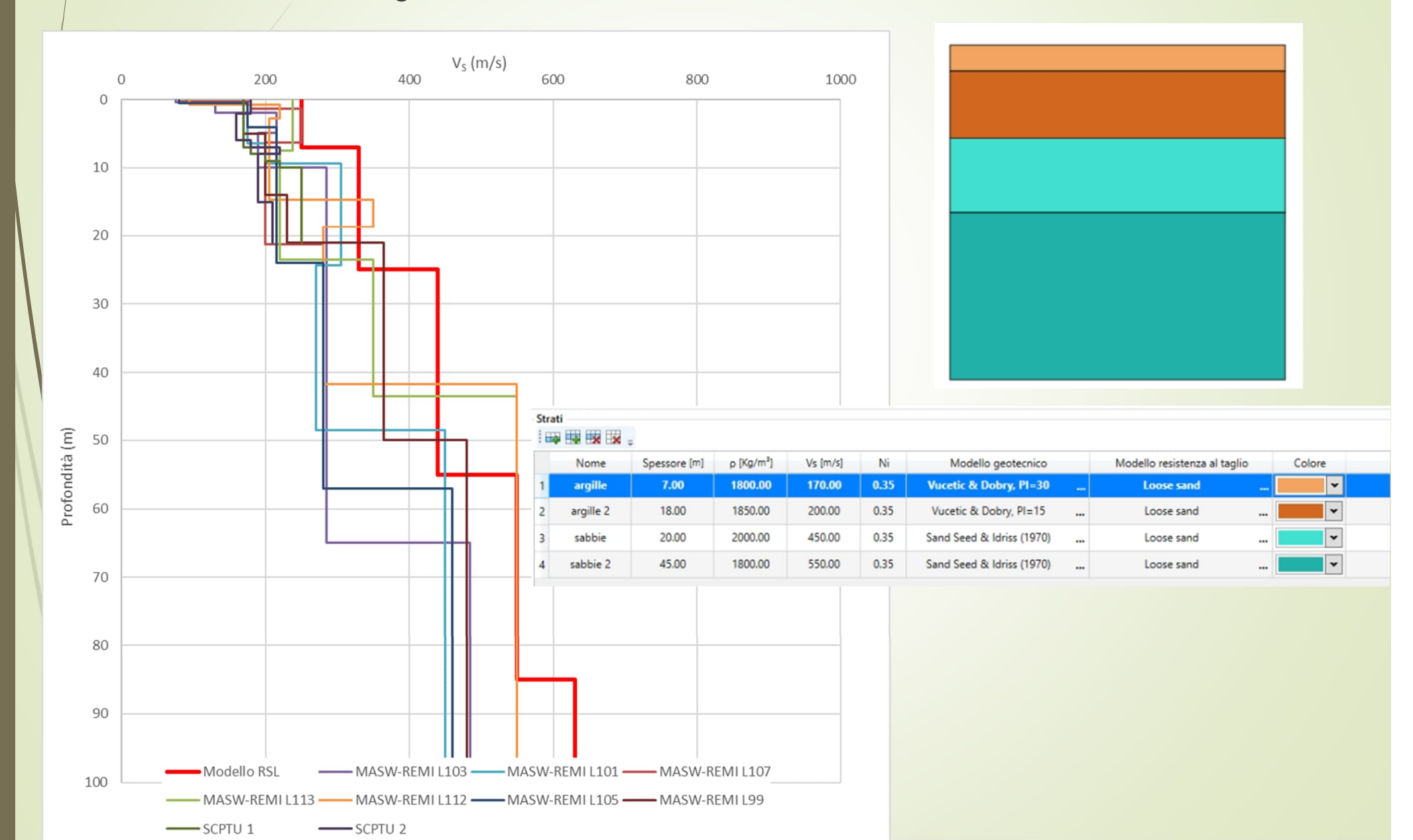
Nello studio sono stati utilizzati:

\* 7 segnali SEISM\_HOME di Eucentre

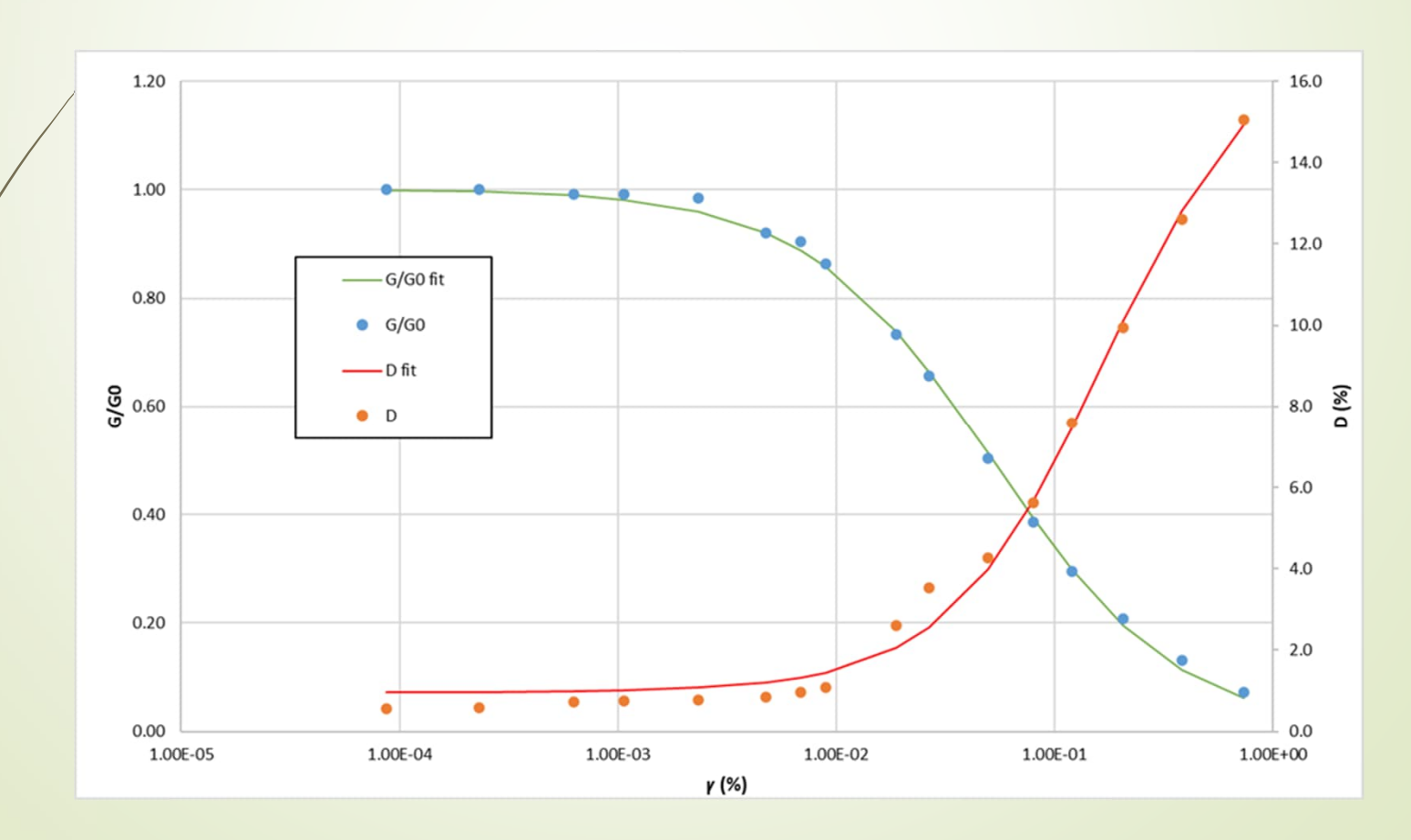
I segnali vengono scalati, per ciascun sito di RSL, in modo che la a<sub>max</sub> corrisponda al valore del sito studiato, calcolata dall'allegato A delle NTC 2008, per interpolazione, su Suolo A



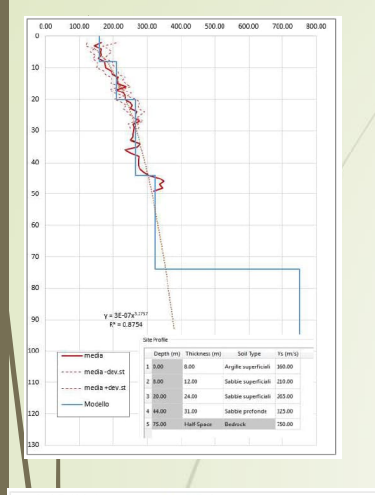
- Modello geofisico del sottosuolo fino al bedrock:
  - Litologia e Vs Prove Down-Hole;

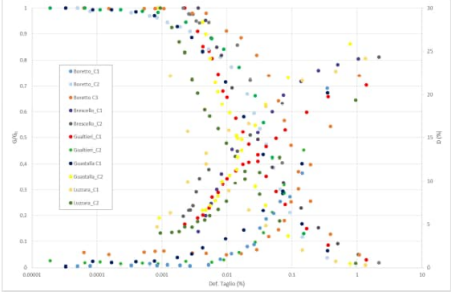


- Modello geofisico del sottosuolo fino al bedrock:
  - Curve di variazione dello smorzamento D in funzione della deformazione (per ciascuno strato)
  - Curve di variazione della rigidezza G/G<sub>0</sub> in funzione della deformazione (per ciascuno strato)



### Risultati:

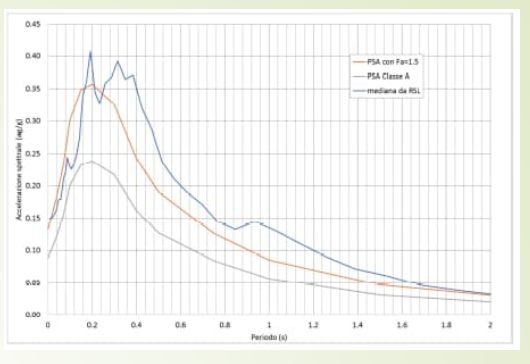




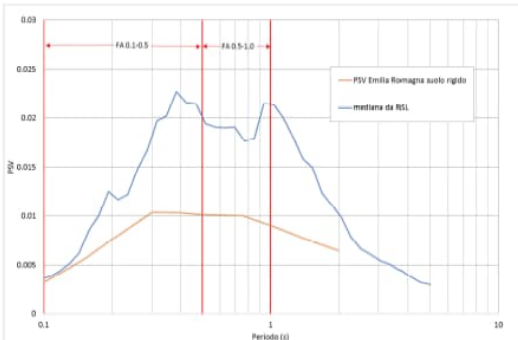
	3 1 1 1								
Strato	Litologia	Spess.	Prof.	γ	Vs	Parametri G/G0		Parametri D	
	Litologia	m	m	kN/m³	m/s	α	β	η	λ
1	Argille	8	8	18.5	160	31.26	1.03	26.61	1.24
2	Sabbie	12	20	19.5	210	39.45	1.24	26.03	1.07
3	Sabbie	24	44	19.5	265	39.45	1.24	26.03	1.07
4	Sabbie	31	75	20.5	325	39.45	1.24	26.03	1.07
-				22.0	750				



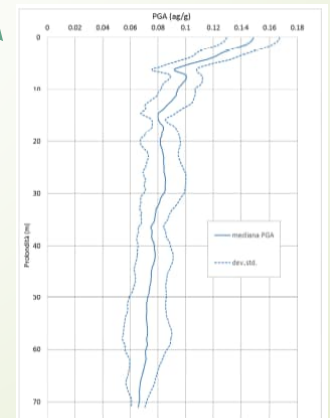
LSR2D (modello lineare equivalente) calcola la risposta dinamica monodimensionale (1D) di una colonna di terreno utilizzando un modello di propagazione lineare delle onde, con proprietà dinamiche del terreno (proprietà elastiche e smorzamento) variabili in funzione del livello deformativo



#### Spettro di risposta elastico in accelerazione



Spettro di risposta elastico in velocità



Profilo dell'accelerazione con la profondità

	RSL
FA <sub>PGA</sub>	2.00
FA <sub>IS 0.1-0.5</sub>	1.65
FA <sub>IS 0.5-1.0</sub>	1.09
FA	1 07

Fattori di amplificazione

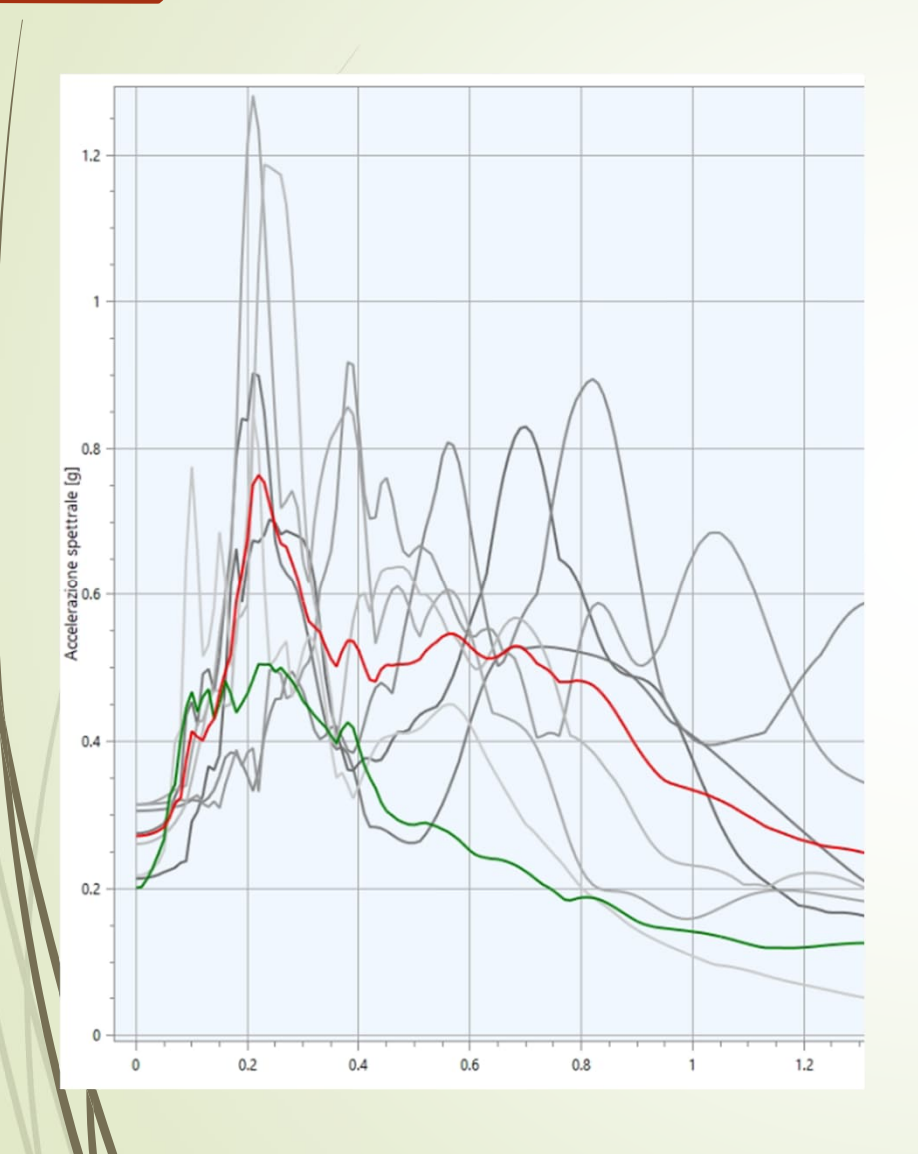
Risultati: Fa<sub>PGA</sub>

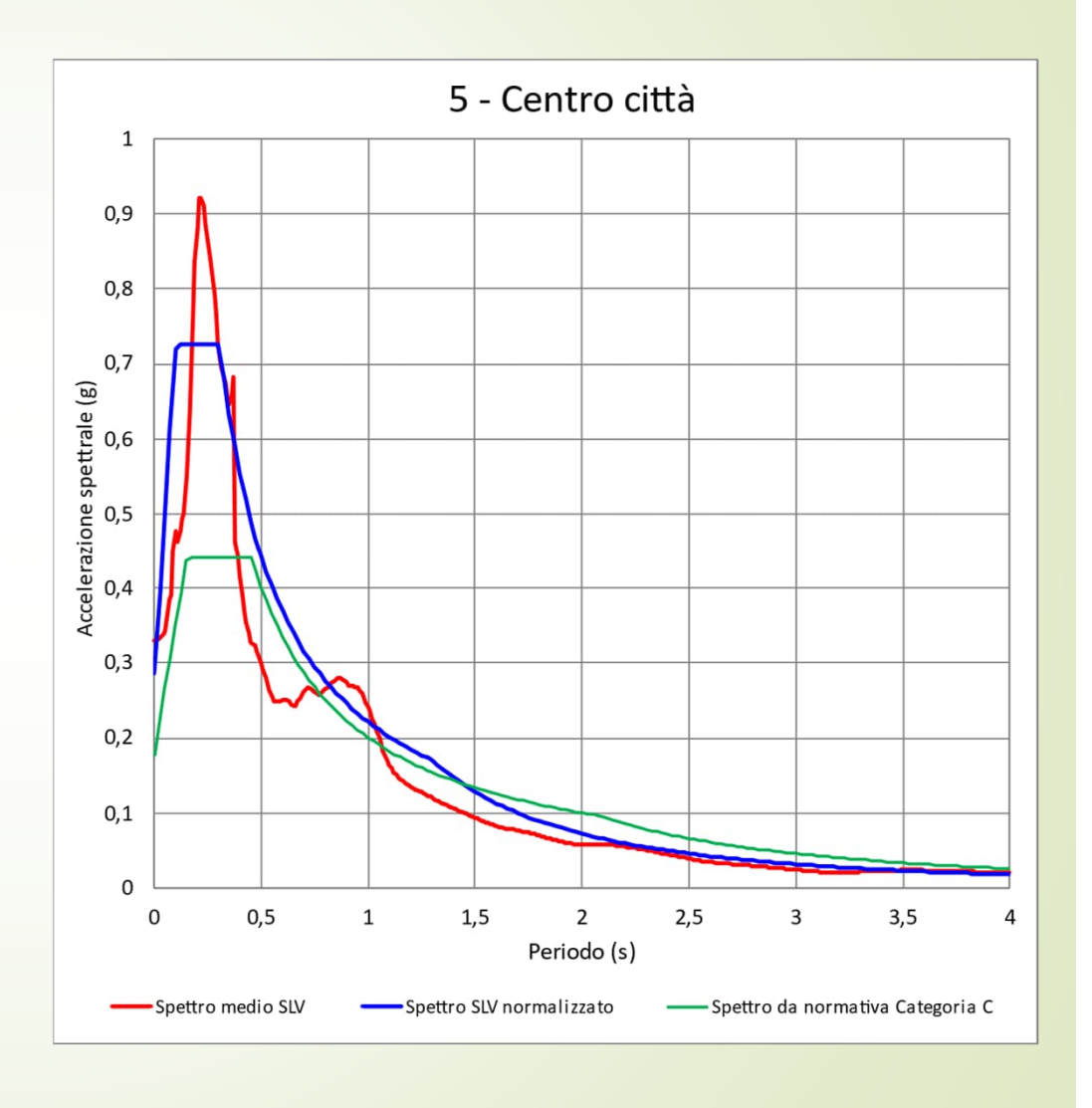
FA<sub>PGA</sub> = rapporto tra l'accelerazione massima in superficie ed il valore di riferimento per il sito su suolo/rigido;



**PGA** 

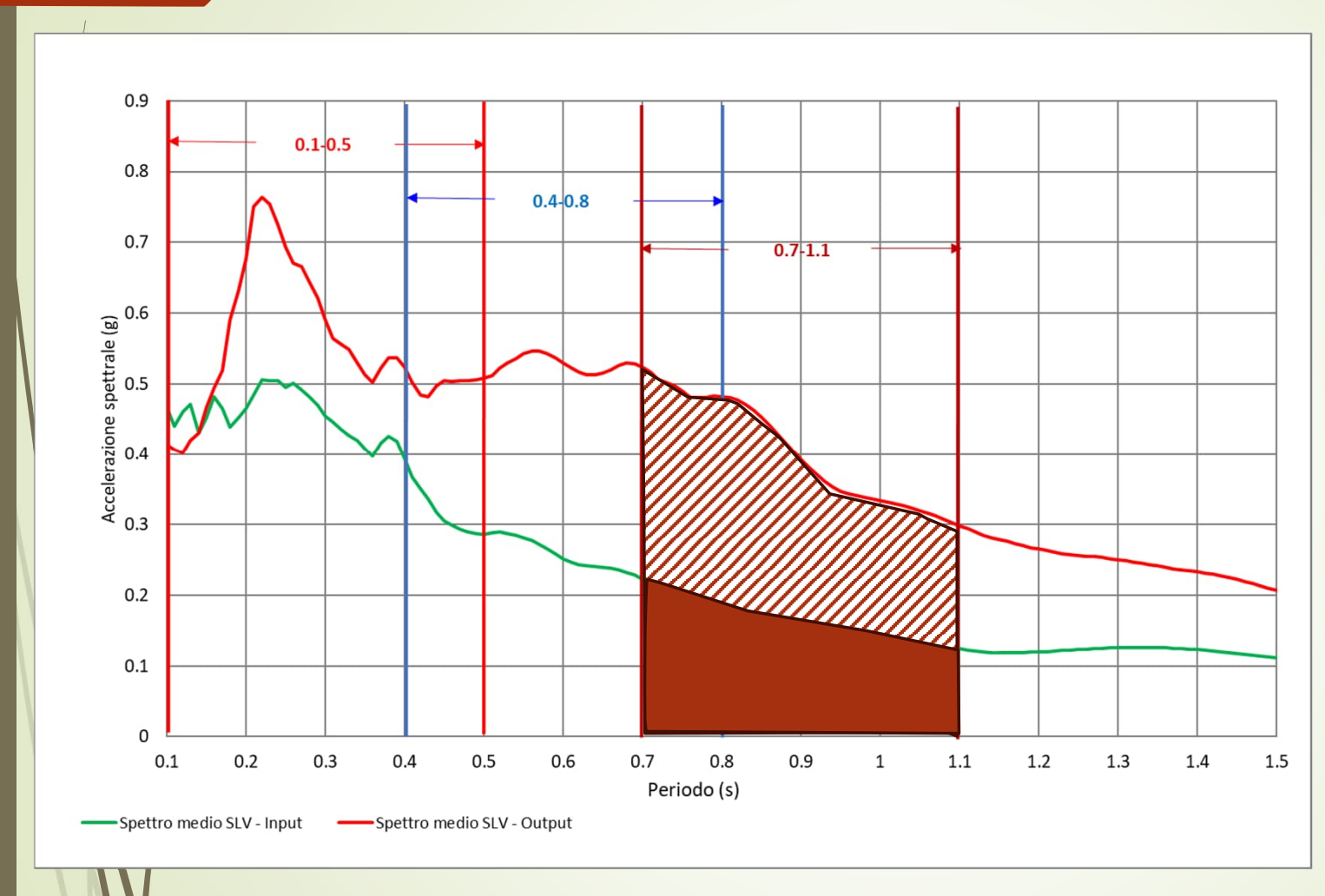
Risultati: Spettro di risposta elastico in pseudoaccelerazione (PSA)





Spettro di risposta elastico in accelerazione

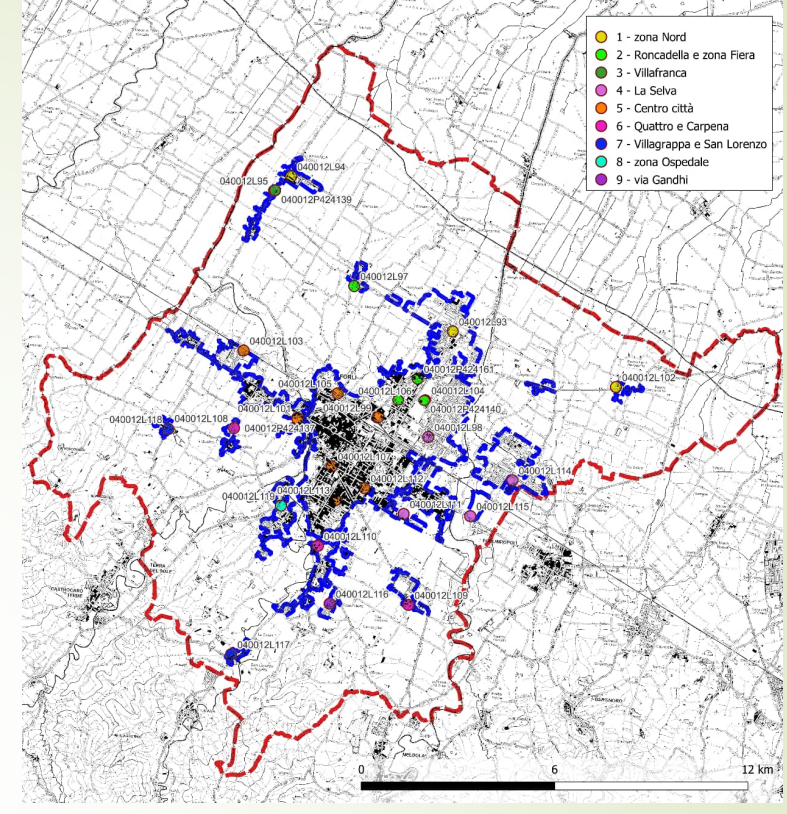
Risultati: Spettro di risposta elastico in pseudoaccelerazione (PSA)



FA = fattore di amplificazione di sito in termini di rapporto tra intensità dello spettro di risposta in pseudoaccelerazio ne calcolato in superficie e quello calcolato al bedrock. Per intervalli di spettro significativi

$$FA_{IS\ 0.7-1.1} = \frac{\int_{0.7}^{1.7} PSA_{superficie}\left(T\right)dt}{\int_{0.7}^{1.1} PSA_{suolo\ rigido}\left(T\right)dt}$$

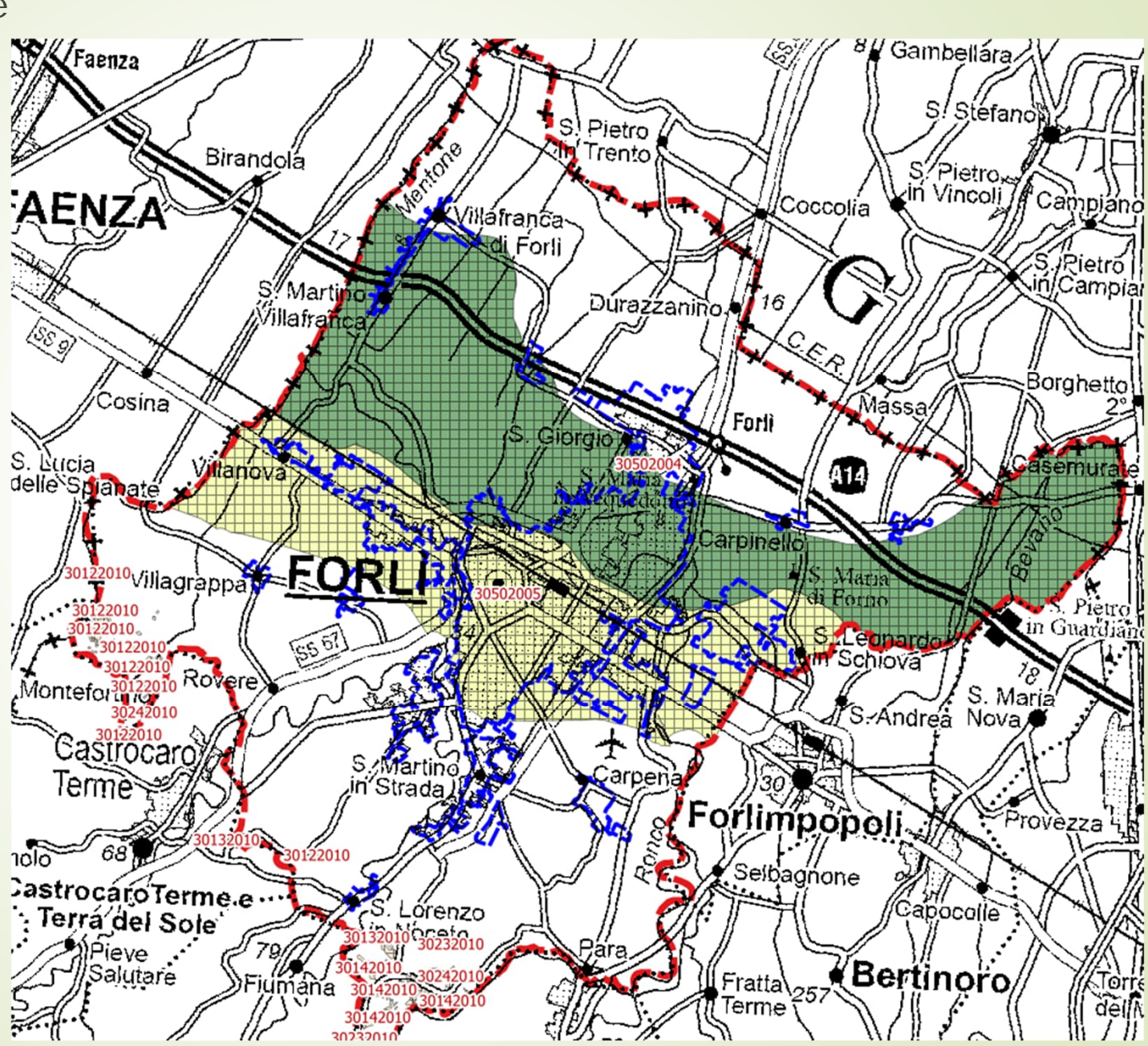
MS3 - Microzonazione 3° livello RSL 1 - zona Nord 2 - Roncadella e zona Fiera 3 - Villafranca 4 - La Selva 5 - Centro città O 6 - Quattro e Carpena 7 - Villagrappa e San Lorenzo 0 8 - zona Ospedale 040012L94 9 - via Gandhi 040012L103 -040012L118 040012L108 12 km



/_										
			SI1	SI2	SI3		SA1	SA2	SA3	SA4
	STAB	INSTAB	0.1s <t<0< td=""><td>0.5s<t<1< td=""><td>0.5s<t<1< td=""><td>PGA</td><td>0.1s<t<0< td=""><td>0.4s<t<0< td=""><td>0.7s<t<1< td=""><td>0.5s<t<1< td=""></t<1<></td></t<1<></td></t<0<></td></t<0<></td></t<1<></td></t<1<></td></t<0<>	0.5s <t<1< td=""><td>0.5s<t<1< td=""><td>PGA</td><td>0.1s<t<0< td=""><td>0.4s<t<0< td=""><td>0.7s<t<1< td=""><td>0.5s<t<1< td=""></t<1<></td></t<1<></td></t<0<></td></t<0<></td></t<1<></td></t<1<>	0.5s <t<1< td=""><td>PGA</td><td>0.1s<t<0< td=""><td>0.4s<t<0< td=""><td>0.7s<t<1< td=""><td>0.5s<t<1< td=""></t<1<></td></t<1<></td></t<0<></td></t<0<></td></t<1<>	PGA	0.1s <t<0< td=""><td>0.4s<t<0< td=""><td>0.7s<t<1< td=""><td>0.5s<t<1< td=""></t<1<></td></t<1<></td></t<0<></td></t<0<>	0.4s <t<0< td=""><td>0.7s<t<1< td=""><td>0.5s<t<1< td=""></t<1<></td></t<1<></td></t<0<>	0.7s <t<1< td=""><td>0.5s<t<1< td=""></t<1<></td></t<1<>	0.5s <t<1< td=""></t<1<>
			.5s	.0s	.5s		.5s	.8s	.1s	.5s
	2003		1.7	2.3	2.1	1.7	1.7	2.3	2.3	2.2
		2004 (1)	1.3	2.2	2.2	1.3	1.3	2.0	2.4	2.2
		2004 (2)	1.1	1.4	1.6	1.1	1.1	1.5	1.6	1.1
		2005 (1)	1.4	1.7	1.6	1.4	1.4	1.6	1.6	1.6
		2005 (2)	1.6	2.0	2.0	1.6	1.6	2.0	2.1	2.1
	2006		1.5	1.5	1.7	1.5	1.5	1.5	1.7	1.7
	2007		1.5	1.8	1.7	1.5	1.5	1.8	1.8	1.7
	2008		1.6	2.0	1.7	1.6	1.6	2.1	1.7	1.7
	2009		1.4	1.7	1.6	1.4	1.4	1.7	1.6	1.6

Liquefazione

La MS2 individuava una zona con presenza di lenti sabbiose sotto falda e quindi con potenziale rischio di liquefazione



### Liquefazione

Interessa, prevalentemente, i depositi granulari: sabbie, sabbie limose, limi sabbiosi e limi

Fattore di sicurezza alla liquefazione (per ogni strato)

$$FSL = \frac{CRR_{7.5}}{CSR} \cdot MSF \cdot k_{\sigma}$$

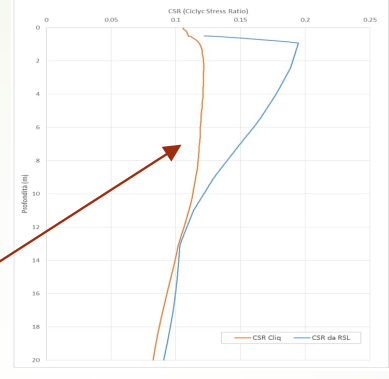
dove

CRR<sub>7.5</sub>=Rapporto di resistenza ciclica per M=7.5 (Ciclic Resistence Ratio)

MSF= fattore di scala della magnitudo (Magnitude Scale Factor)

Kσ=Fattore di correzione per la pressione di confinamento

CSR<sup>12</sup> = rapporto di tensione ciclica (*Ciclic Stress Ratio*) =  $CSR = 0.65 \left(\frac{a_{max}}{a}\right) \cdot \left(\frac{\sigma_{y0}}{\sigma_{y0}}\right) \cdot r_d$ 



LPI valutazione complessiva dei rischio di liquefazione per una

$$LPI = \int_{0}^{20} F(z) W(LPIz) dz$$

#### Dove

- F(z) è una variabile con valori compresi tra 0 e 1, definita ad ogni profondità 0≤ z ≤ 20<sub>x</sub> in funzione del valore che, a quella profondità, assume il fattore di sicurezza alla liquefazione FSL
- w(z) è un fattore di peso della profondità.

LPI=Liquafation Potenzial Index

Terremoto del 20 maggio 2012

LPI between 0.00 and 2.00 - Liquefaction risk low

LPI between 2.00 and 5.00 - Liquefaction risk moderate

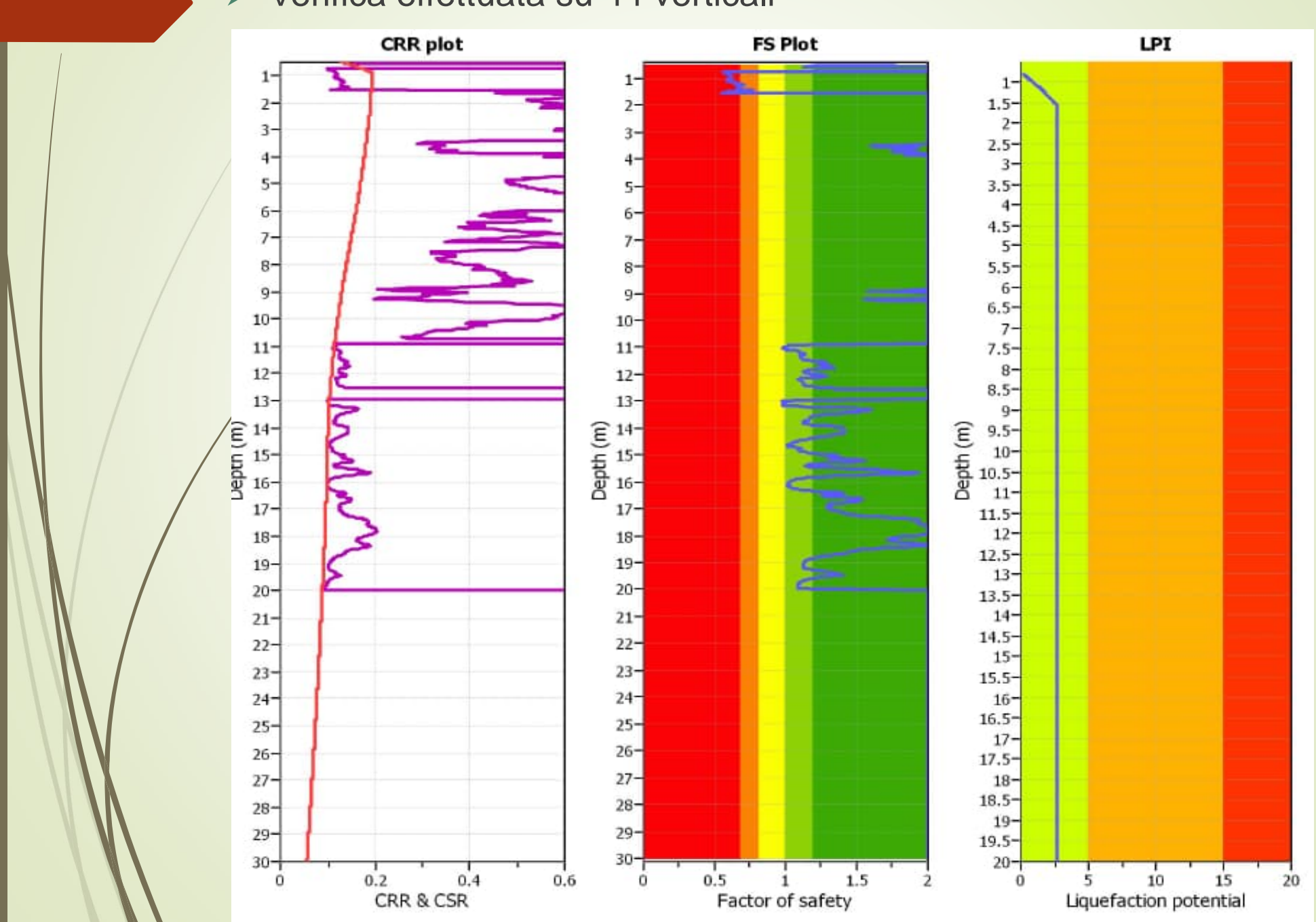
LPI between 5.00 and 15.00 - Liquefaction risk high

LPI > 15.00 - Liquefaction risk very high





➤ Verifica effettuata su 44 verticali



### Verifica effettuata su 44 verticali

Prova	Codice prova	LPI
CPTU1	040012P424142	2.293
CPTU1 - 2° livello	040012P42482	3.361
CPTU10	040012P424150	3.609
CPTU10 - 2° livello	040012P42491	1.153
CPTU11	040012P424151	0.236
CPTU11 - 2° livello	040012P42492	0.537
CPTU12	040012P424152	0.438
CPTU12 - 2° livello	040012P42493	0.237
CPTU13	040012P424153	4.679
CPTU13 - 2° livello	040012P42494	1.508
CPTU14	040012P424154	4.792
CPTU14 - 2° livello	040012P42495	1.761
CPTU15	040012P424155	0.048
CPTU15 - 2° livello	040012P42496	1.549
CPTU16	040012P424156	2.904
CPTU16 - 2° livello	040012P42496	5.179
CPTU17	040012P424157	6.579
CPTU17 ospedale - 2° livello	040012P42498	0.914
CPTU18	040012P424158	0.084
CPTU18 fiera - 2° livello	040012P42499	0.167
CPTU19	040012P424159	0.514
CPTU19 rotonda - 2° livello	040012P424100	0.609

Prova	Codice prova	LPI
CPTU2	040012P424143	3.042
CPTU2 - 2° livello	040012P42483	1.392
CPTU20	040012P424160	2.012
CPTU20 scuola - 2° livello	040012P424101	3.727
CPTU3	040012P424144	2.654
CPTU3 - 2° livello	040012P42484	0.983
CPTU4	040012P424145	0.1
CPTU4 - 2° livello	040012P42485	0.085
CPTU5	040012P424141	0.00
CPTU5 - 2° livello	040012P42486	0.938
CPTU6	040012P424146	4.108
CPTU6 - 2° livello	040012P42487	2.703
CPTU7	040012P424147	0.002
CPTU7 - 2° livello	040012P42488	3.558
CPTU8	040012P424148	5.193
CPTU8 - 2° livello	040012P42489	0.365
CPTU9	040012P424149	0.255
CPTU9 - 2° livello	040012P42490	0.681
SCPTU1	040012P424137	3.987
SCPTU2	040012P424138	0.59
SCPTU3	040012P424139	0.449
SCPTU4	040012P424140	6.455

Nel complesso il rischio di liquefazione è da considerare non trascurabile

N.B.: la verifica a liquefazione è comunque obbligatoria in fase di progetto (NTC 2018)

## MS3 - Microzonazione 3° livello RSL

Carta di microzonazione sismica FA<sub>IS 0.1 – 0.5 s</sub>

Zone stabili suscettibili di amplificazioni locali



FA-SA 0.1-0.5 s = 1.3 - 1.4



FA-SA 0.1-0.5 s = 1.5 - 1.6





 $ZS_LQ$  – Zona di suscettibilità per liquefazione – FA-SA 0.1-0.5 s = 1.3 – 1.4 – IL 2.0 – 5.0



ZS\_LQ - Zona di suscettibilità per liquefazione - FA-SA 0.1-0.5 s = 1.3 - 1.4 - IL 5.0 - 15.00



ZS\_LQ - Zona di suscettibilità per liquefazione - FA-SA 0.1-0.5 s = 1.5 - 1.6 - IL 2.0 - 5.0



 $ZS_LQ$  – Zona di suscettibilità per liquefazione – FA-SA 0.1-0.5 s = 1.5 – 1.6 – IL 5.0 – 15.00

MS3 - Microzonazione 3° livello RSL Carta di microzonazione sismica FA<sub>IS 0.1 - 0.5 s</sub> Aree instabili per liquefazione

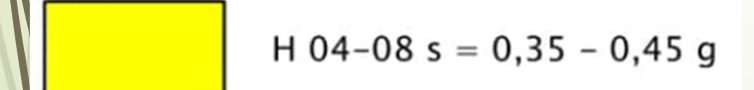
# Microzonazione e pianificazione

Carta di pericolosità sismica assoluta:

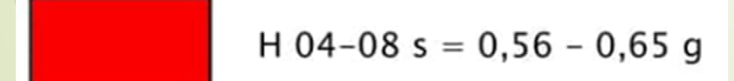
H<sub>MS</sub>= ASI<sub>PU</sub> \* FA<sub>SA 0.4-0.8 s</sub> (Tr475Y)

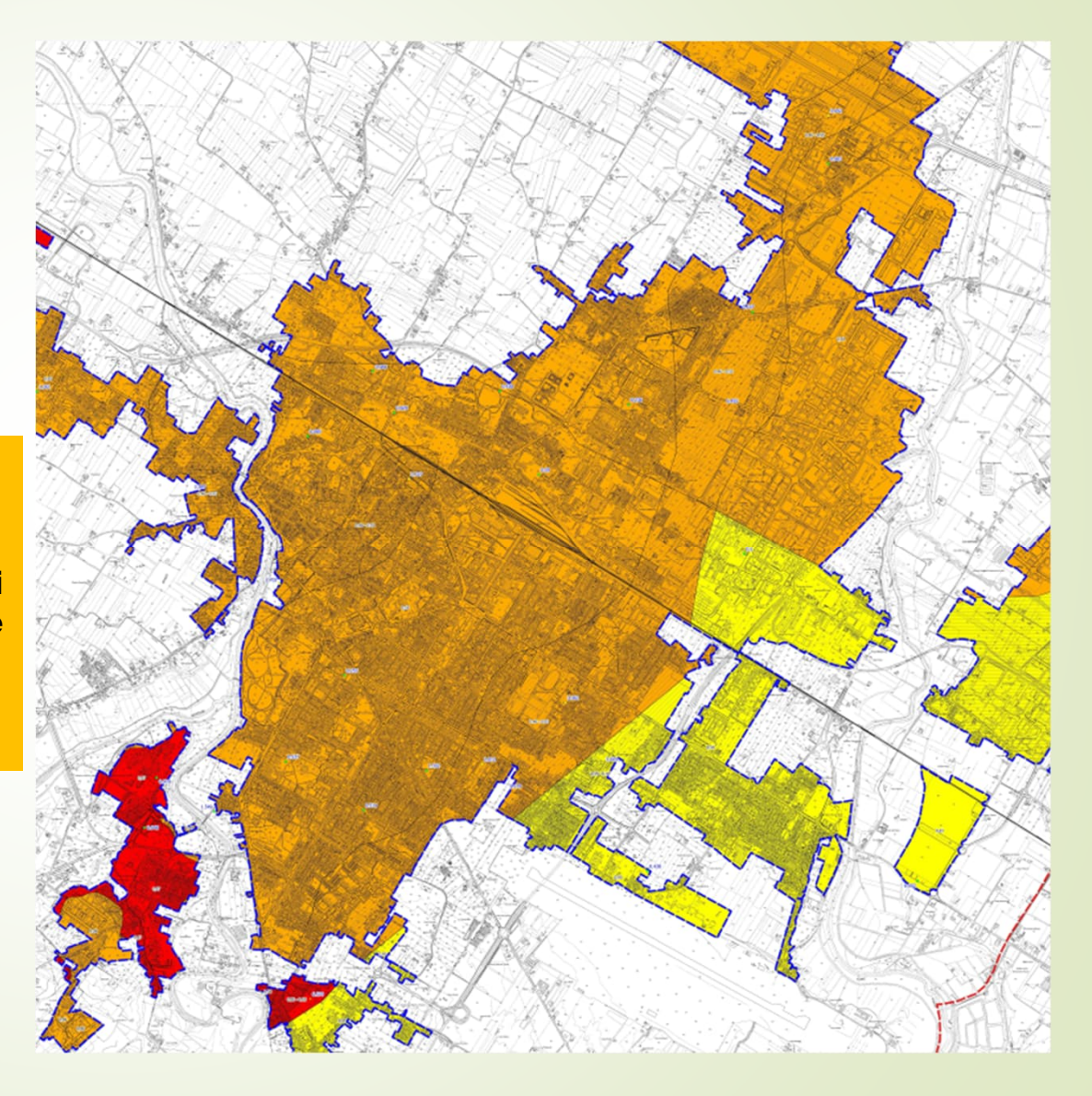
ASI<sub>PU</sub> = Acceleration Spectrum Intensity (integrale dello spettro tra 0.4 e 0.8 s)

Consentendo una rappresentazione assoluta della pericolosità sismica, la zonazione del territorio in termini di H<sub>MS</sub> permette di stabilire una reale graduatoria di pericolosità tra le varie zone omogenee ed è quindi un elemento conoscitivo fondamentale per una più realistica valutazione del rischio sismico











# TAVOLA DEI VINCOLI art. 37 L.R. 24/2017

# Servizio Pianificazione urbanistica e Politiche per l'Ambiente

Unità Pianificazione urbanistica

## TAVOLA DEI VINCOLI

**STRUMENTO CONOSCITIVO** 

VINCOLI E TUTELE

art 37 LR 24/2017

vincoli

Interessano le aree la cui trasformazione può modificare il grado di funzionalità e di sicurezza delle infrastrutture territoriali esistenti e previste



volte alla salvaguardia delle risorse naturali, paesaggistiche e storiche dell'intero territorio comunale

Piani sovraordinati, Singoli provvedimenti amministrativi, ovvero previsioni legislative che precludono, limitano o condizionano l'uso o la trasformazione del territorio che pertanto devono essere considerati prevalenti rispetto alle altre disposizioni degli strumenti urbanistici comunali.





sistema forestale boschivo



zone ed elementi di interesse storico archeologico



invasi, laghi, alvei, bacini e corsi d'acqua



zone caratterizzate da dissesto e instabilita'



la Tavola dei vincoli deve essere aggiornata a seguito

dell'approvazione di leggi, piani o altri atti che comportano la modifica dei vincoli e delle prescrizioni gravanti sul territorio comunale attraverso apposite deliberazioni del Consiglio comunale meramente ricognitive, non costituenti varianti alla pianificazione vigente. La cartografia restituisce pertanto le tutele e i vincoli insistenti sul territorio attraverso 4 tavole in scala 1:25000

La Tavola dei vincoli individua e rappresenta le aree e gli elementi soggetti a tutela così articolati:



Zone di particolare interesse paes -ambientale

Zone di tutela laghi, bacini, corsi d'acqua

Zone ed elementi di interesse storico - archeo

Insediamenti urbani storici

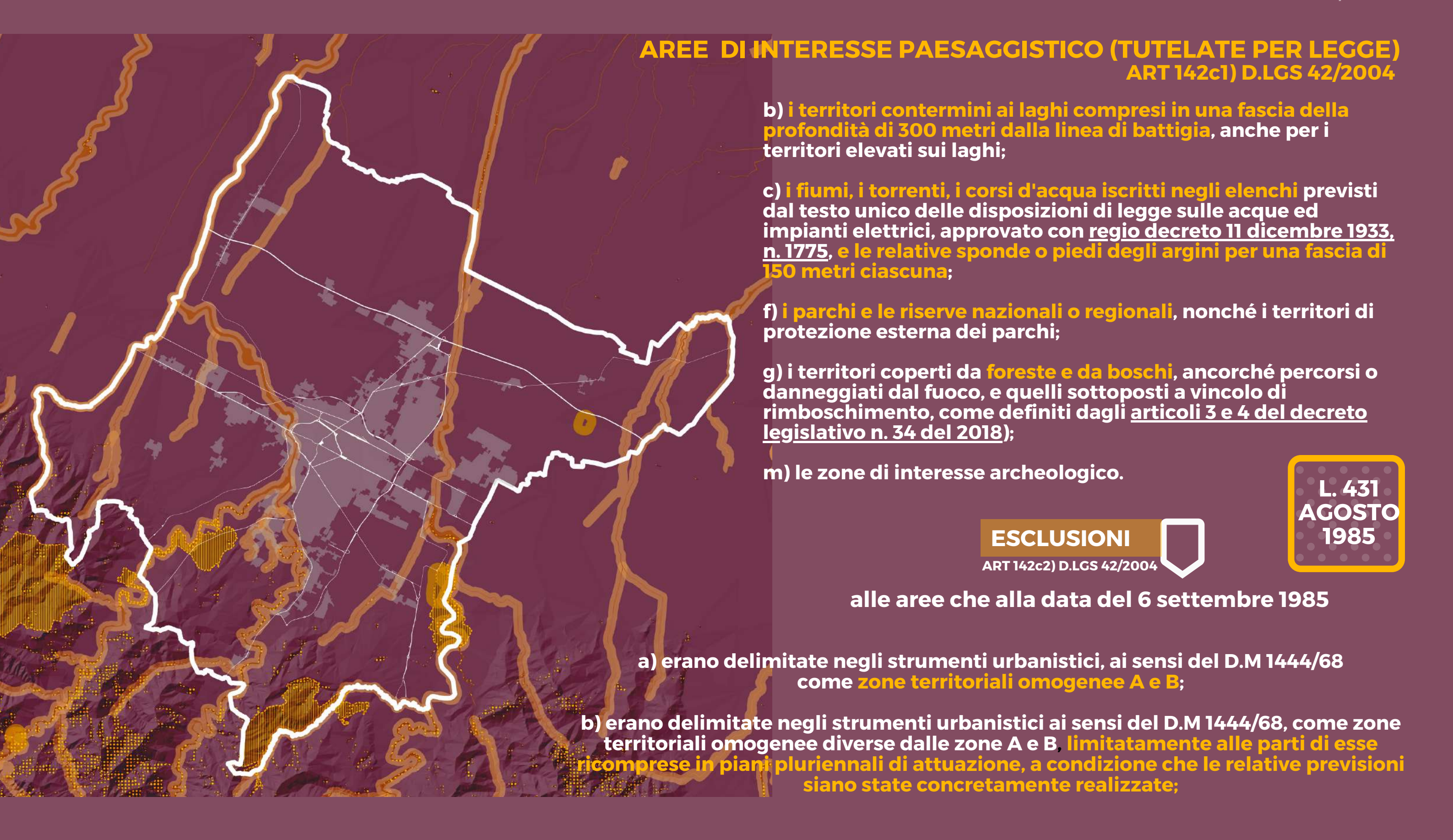
Zone ed elementi caratterizzati da potenziale instabilita'

Aree di potenziale allagamento

Elettrodotti
Infrastrutture viarie
Aeroporto

#### "Schede dei vincoli" > per ogni vincolo/tutela si riporta :

- l'indicazione sintetica del suo contenuto;
- i riferimenti normativi (atto da cui deriva);
- la relativa rappresentazione grafica del layer della banca dati territoriale unificata del Comune.



#### La ricognizione delle aree escludibili dal vincolo paesaggistico ex art 142 comma 2 D.LGS 42/2004

come verificare la rispondenza degli strumenti urbanistici al DM 1444/68, considerando che nel 1985 in Emilia-Romagna operava da tempo la legge urbanistica regionale n.47/78, a cui la maggior parte degli strumenti urbanistici si era già conformata all'entrata in vigore della legge Galasso

# ACCORDO MIBACT - REGIONE EMILIA - ROMAGNA 2003

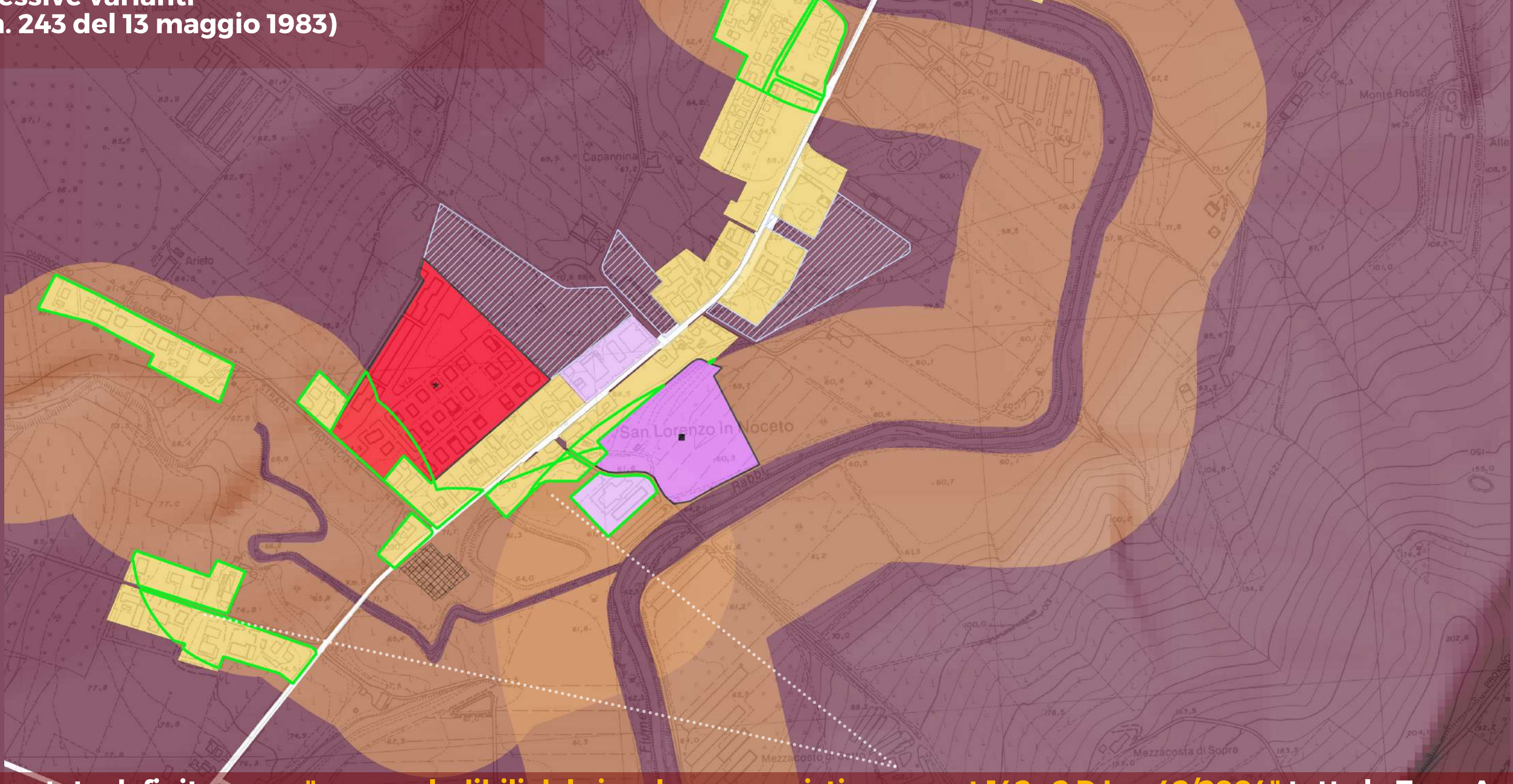
gli strumenti urbanistici vigenti al 1985 sono adeguati alla allora vigente legge urbanistica regionale n.47/78, che ha operato l'individuazione delle zone omogenee urbanistiche in modo parzialmente differente dal DM 1444/68.



PIANO REGOLATORE GENERALE
APPROVATO CON D.P.R n. 175 del 16/04/1974
e successive varianti
(DCC n. 243 del 13 maggio 1983)

Secondo Programma Pluriennale di Attuazione del PRG 1982 - 1985 venne adottato con DCC n. 392 del 30 giugno 1982 e successivamente verificato ed aggiornato con DCC n. 219 del 21 marzo 1985 (validità delle previsioni contenute nel PPA 1982 - 30 giugno 1986, ovvero prolungamento della validità temporale di un anno): tale PPA diviene dunque lo strumento attraverso il quale attestare l'individuazione delle previsioni concretamente realizzate nelle aree diverse da quelle "A" e "B", ovvero il PPA vigente al 6 settembre del 1985.

PIANO REGOLATORE GENERALE APPROVATO CON D.P.R n. 175 del 16/04/1974 e successive varianti (DCC n. 243 del 13 maggio 1983) La ricognizione delle aree escludibili dal vincolo paesaggistico ex art 142 comma 2 D.LGS 42/2004



Sono state definite come <u>"aree escludibili dal vincolo paesaggistico - ex art 142 c2 D.Lgs 42/2004"</u> tutte le Zone A (Zone residenziali, culturali ambientali), le Zone B (Zone residenziali di completamento), le Zone "D" (Zone industriali di completamento) le Zone G (Zone per attrezzature comuni) edificate e contermini alle zone A e B (fermo restando la verifica degli indici ai sensi dell'art. 2 del D.M. 1444/1968, ovvero qualora la superficie coperta degli edifici esistenti fosse superiore al 12,5% (un ottavo) della superficie fondiaria e la densità territoriale superiore ad 1,5 mc/mq).